

Transzportfolyamatok a biológiai rendszerekben

Transzportfolyamatok a sejt nyugalmi állapotában

Elektrofiziológiai jelenségek és a transzportfolyamatok kapcsolata

A nyugalmi potenciál jelentősége

a sejt homeosztázisának (sejttérfogat, pH) fenntartása

ingerlékenység

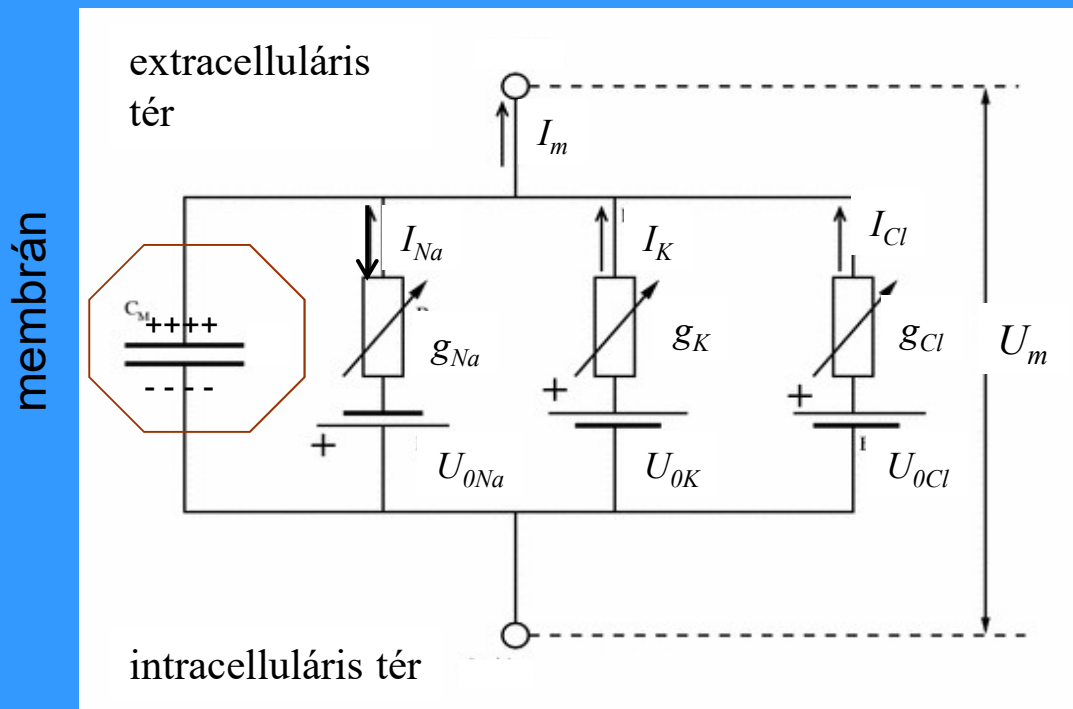
érzékelés

jelátadás

A nyugalmi potenciál értelmezése:

- Donnan vagy egyensúlyi modell
- Transzport modell
- Elektromos modell

A sejtmembrán elektromos modellje:



elektromotoros erő
vezetőképesség
kapacitás

$$I_m = I_{ion} + I_c$$

Konduktív áram

Változik, ha a csatorna
vezetőképessége potenciálfüggő

Kapacitív áram

$$I_c = C_m \frac{\Delta U_m}{\Delta t}$$

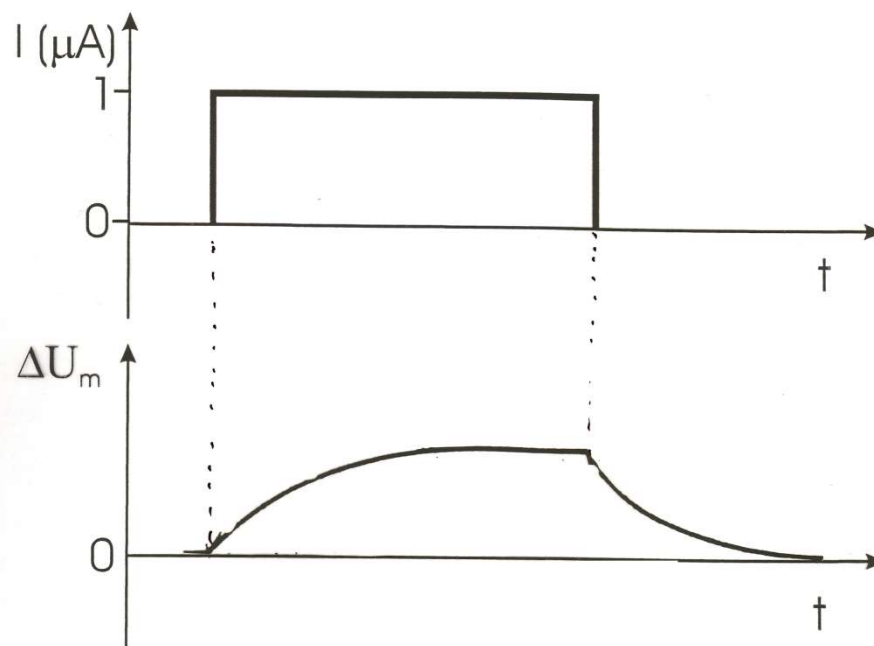
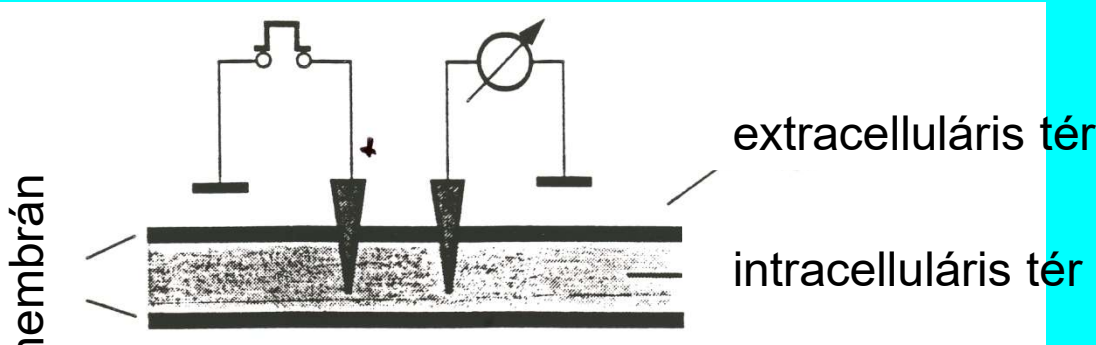
A nyugalmi potenciál megváltozása

1. A membrán “passzív” elektromos tulajdonságai

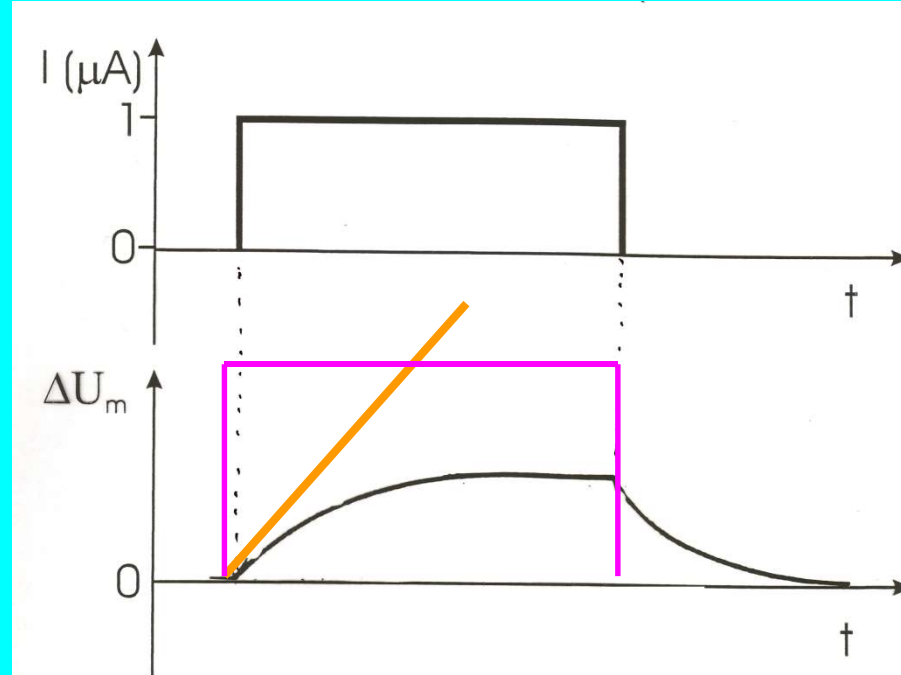
Kísérlet

Áramirány :
pozitív töltések
áramlásának
irányá.

ingerlö
elektród mérő
elektród



Miért éppen így?



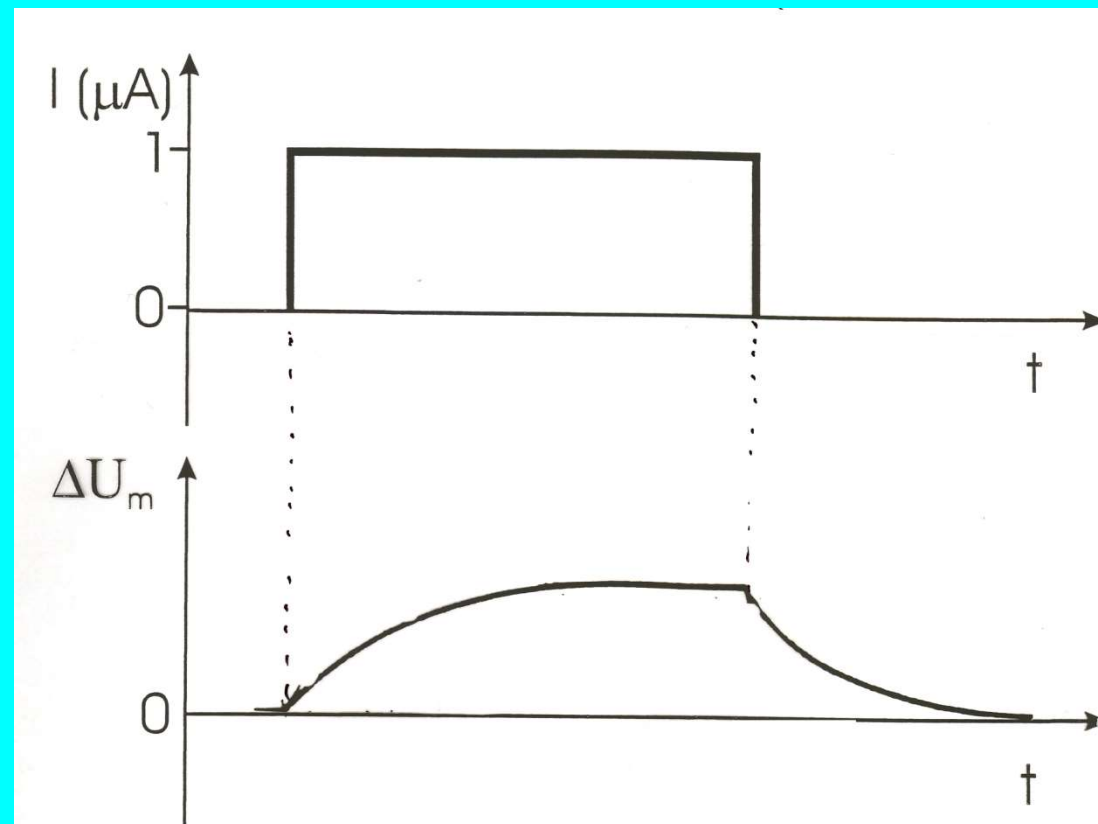
Nem így
Nem így

Miért éppen így?

A membrán elektromos tulajdonságai miatt:

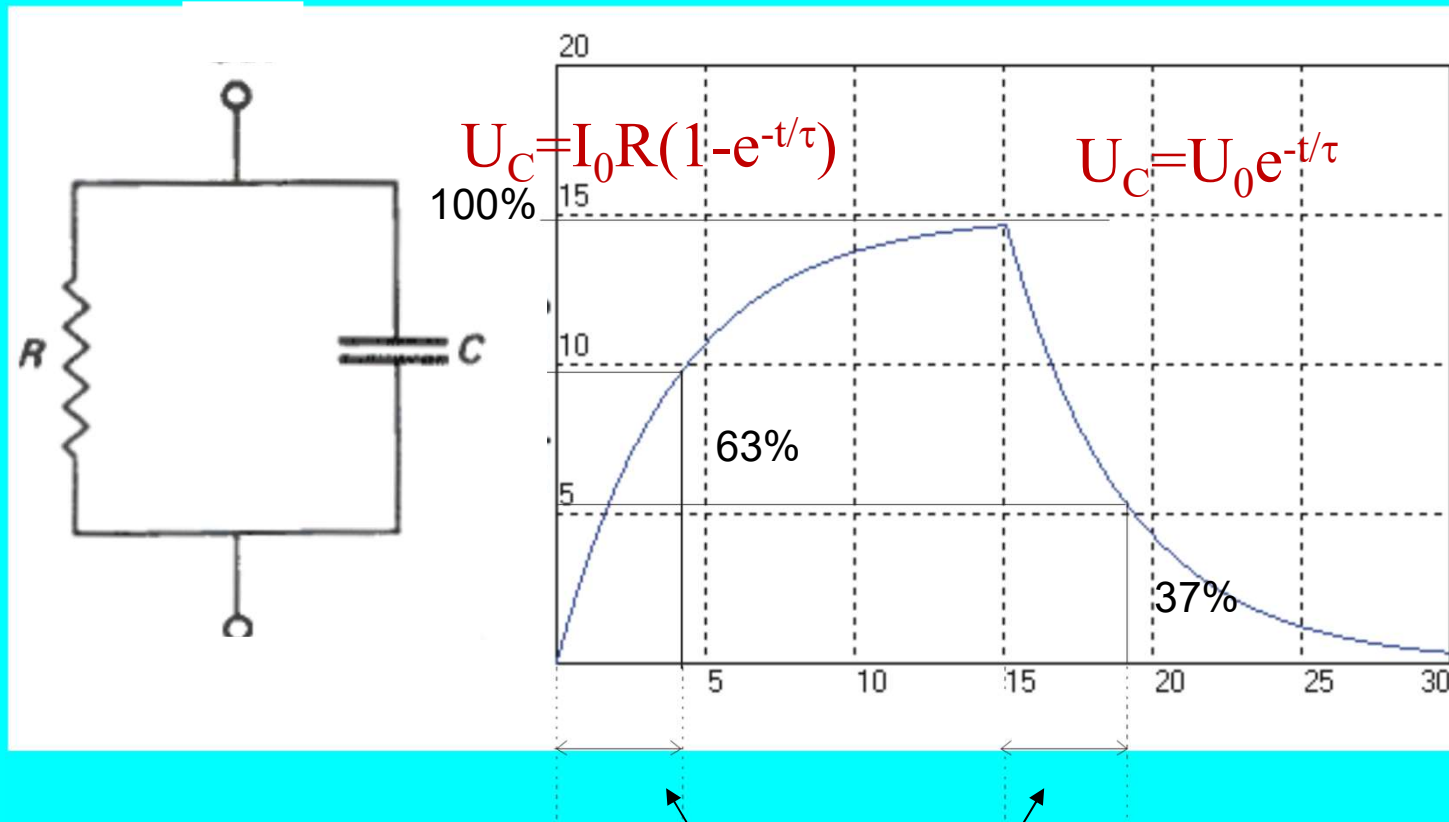
-ellenállás

-kapacitás



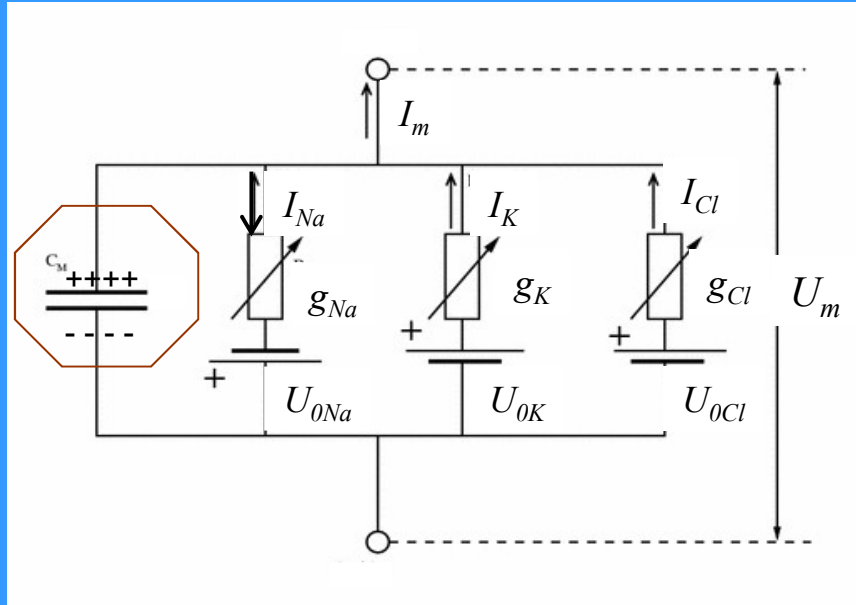
Hol is láttam már ehhez hasonlót?

Párhuzamos RC-kör töltése és kisütése



$$\tau = RC$$

Összevetése az elektromos modellel:



$$I_{ion} + I_c = I_m = 0$$

$$g_{Na} (U_m - U_{0Na}) = I_{Na}$$

$$g_{ion} (U_m - U_0) = I_{ion}$$

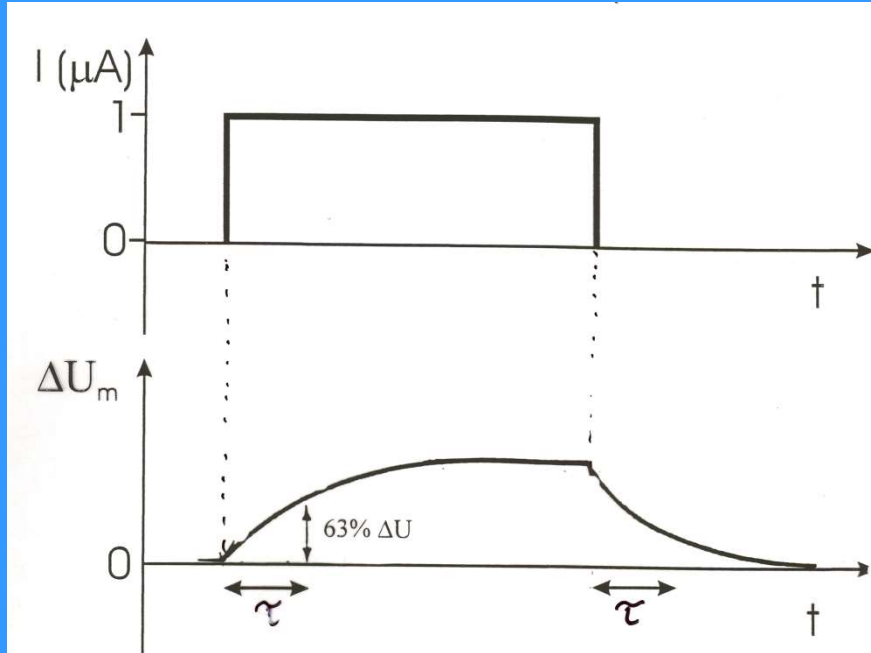
$$C_m \frac{\Delta U_m}{\Delta t} + \frac{\Delta U_m - U_0}{R_m} - I_{inger} = 0$$

Az ingerlés kezdetétől
eltelt idő

$$U_m(t) = U_t \left[1 - e^{-\frac{t}{R_m C_m}} \right]$$

A membránpotenciál
időbeli változása

A membránpotenciál
telítési értéke



a membrán kapacitása

a membrán keresztrányú ellenállása

$$\tau = C_m R_m$$

τ a membrán időállandója:

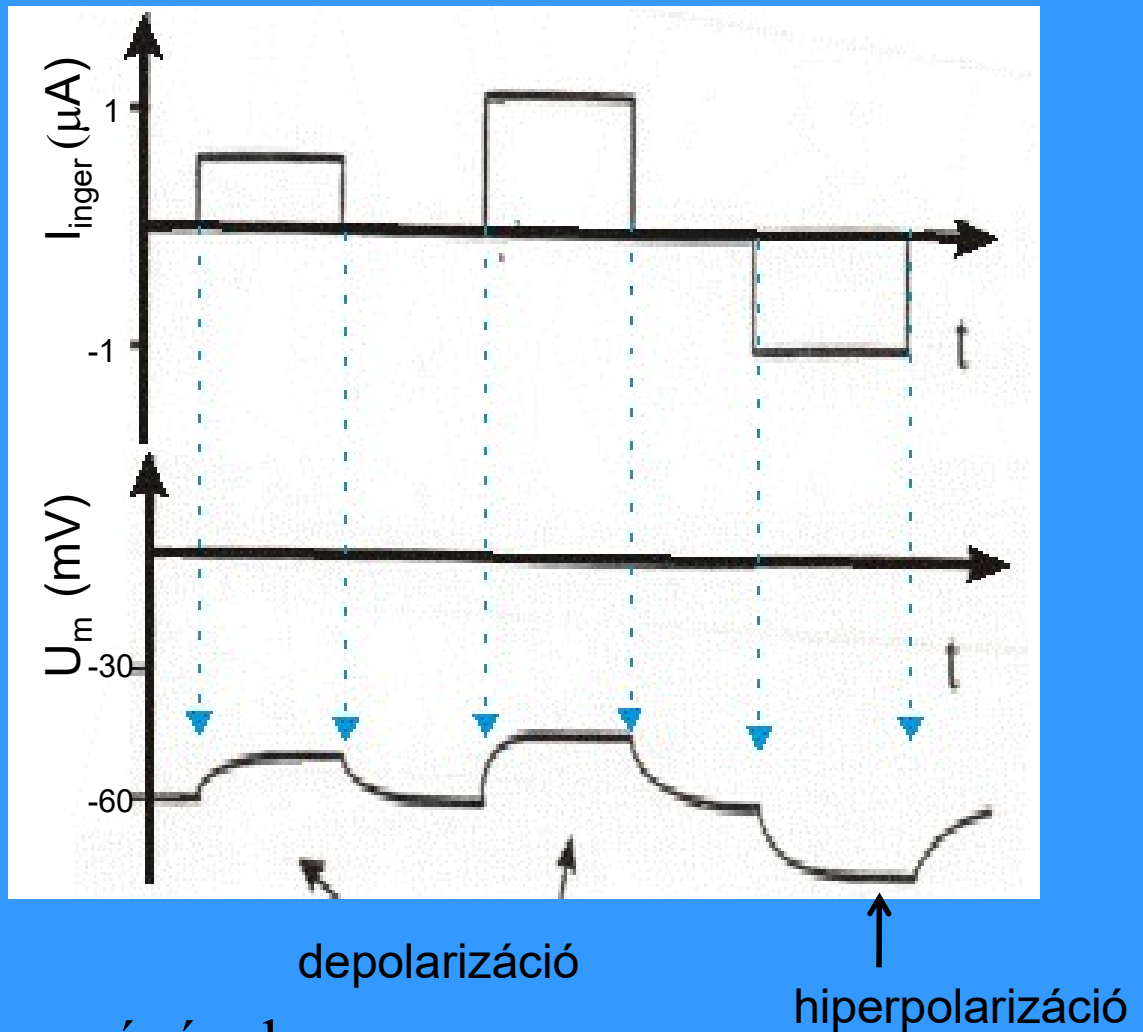
az az idő, ami alatt az impulzussal keltett feszültségváltozás -eléri a telítési érték 63%-át vagy
-az ingerlés megszünte után e-ed részére csökken

$$U_m(t) = U_t \left[1 - e^{-\frac{t}{R_m C_m}} \right]$$

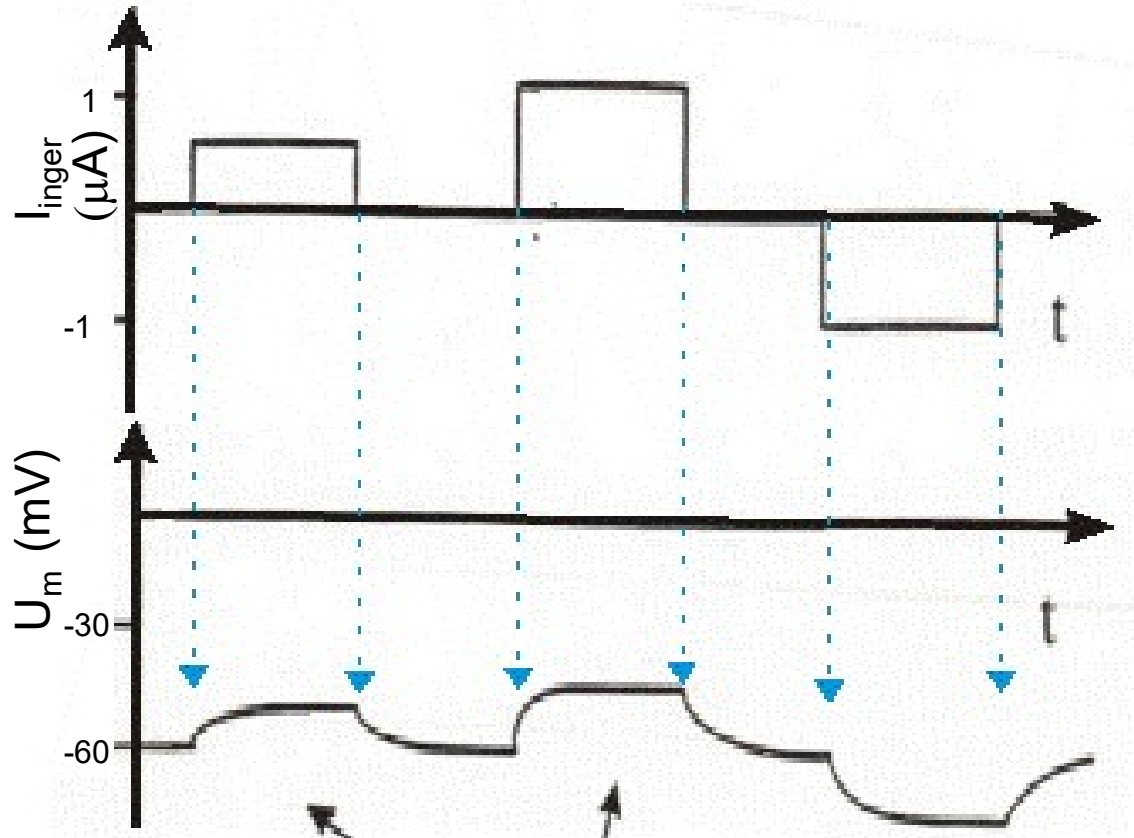


U_t egyenesen arányos az ingerlő impulzus nagyságával

A változás meredeksége függ az ingerlő impulzus nagyságától



A nyugalmi potenciál helyi megváltozása

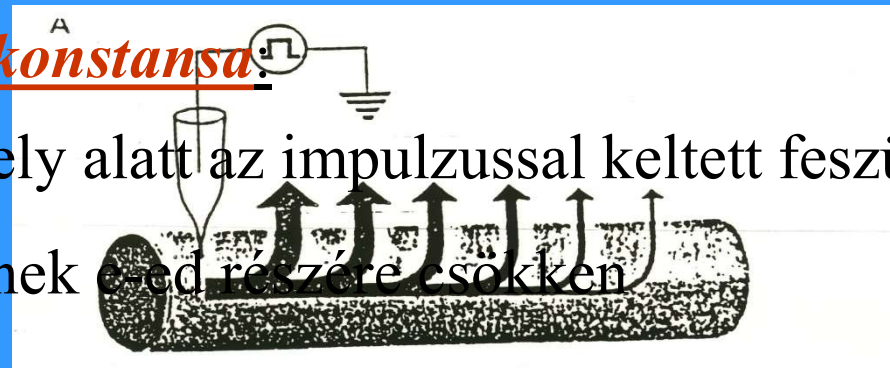


obligát
ugrásmentes
változtatható amplitúdójú
változtatható irányú
analóg
lokálizált

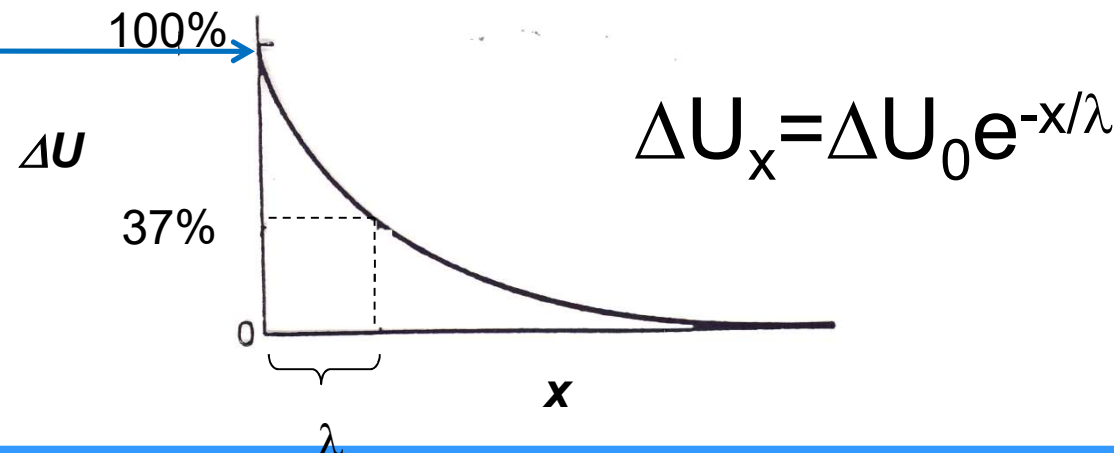
A nyugalmi potenciál helyi megváltozása az ingerlés helyétől távolodva

λ a membrán térkonstansa

az a távolság, amely alatt az impulzussal keltett feszültségváltozás maximális értékének ~~ered rögzítése csökken~~



Változás az
ingerlés helyén



$$\lambda \sim \sqrt{\frac{R_m}{R_i}}$$

A nyugalmi potenciál helyi megváltozása

- kísérletileg áramimpulzusokkal
- adekvát ingerekkel
- posztszinaptikus membránon neurotranszmitterekkel
 - serkentő - depolarizáló
 - gátló - hiperpolarizáló

A nyugalmi potenciál helyi megváltozásának jelentősége

ingerületvezetés

érzékelés - receptorműködés

jelátadás

A nyugalmi potenciál megváltozása

2. A membrán “aktív” elektromos tulajdonságai

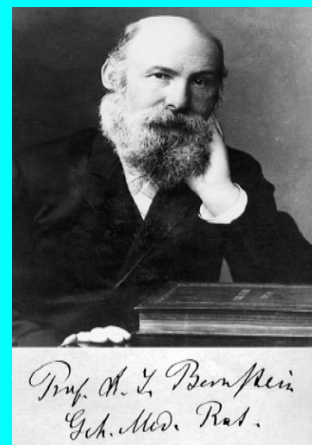
“Akciós potenciál történelem”



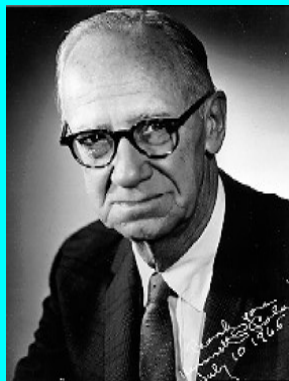
1780: **Luigi Galvani** – elektromos vezetés és izomösszehúzódás kapcsolata



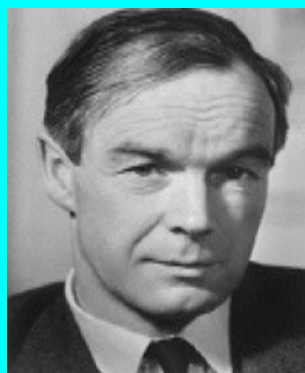
1843: **Emil Dubois-Reymond** – nyugalmi potenciál, ami megváltozik izomösszehúzódáskor



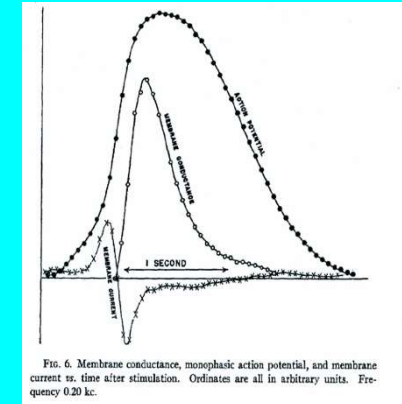
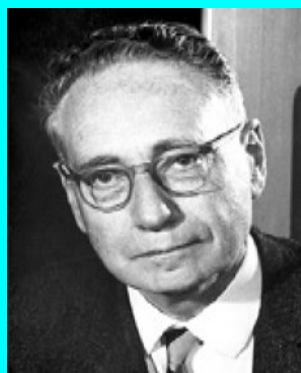
1868: Dubois-Reymond tanítványa **Julius Bernstein** – egyenlőtlen ioneloszlás leírása; ionáram ingerléskor; terjedő elektromos potenciál változás: *akciós potenciál*



1938: **K.C. Cole** – méréssel igazolta, hogy a membrán vezetőképessége megnő az akciós potenciál alatt

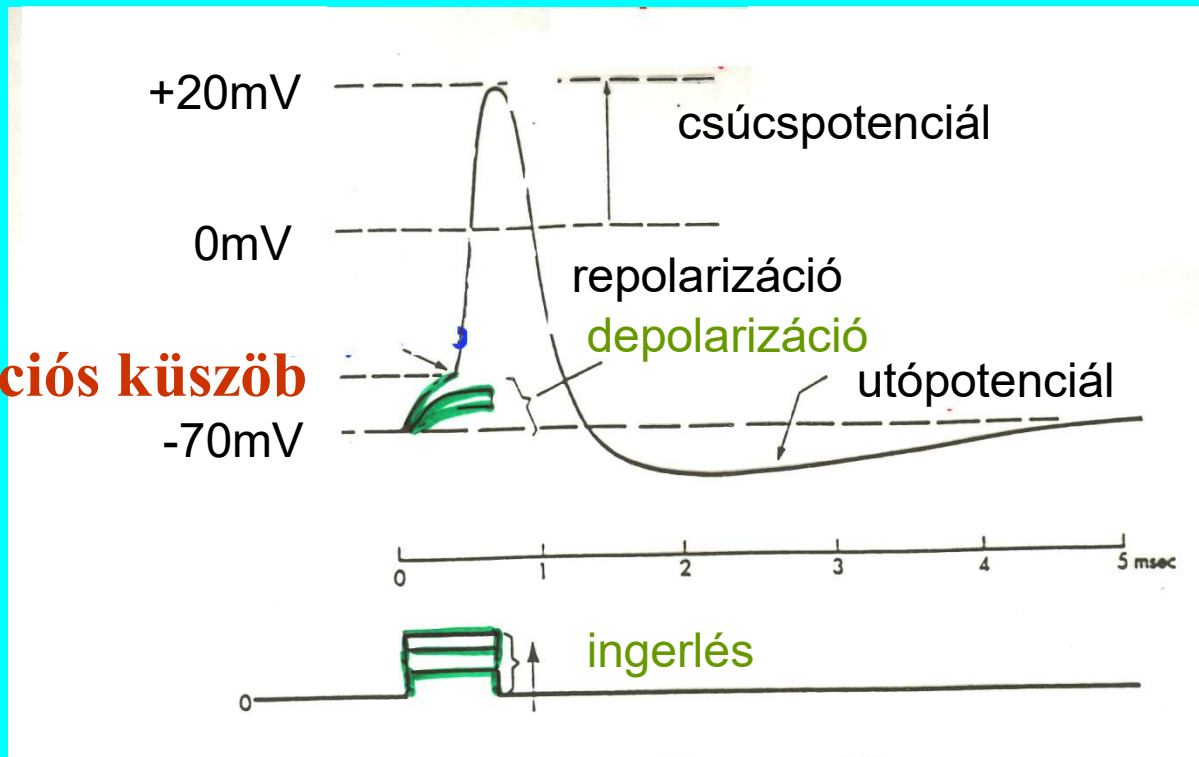


1948: **Alan Hodgkin** és **Bernard Katz** –
kimutatta, hogy az akciós potenciál
amplitúdója függ az extracelluláris Na^+
koncentrációtól



Az akciós potenciál kialakulása

depolarizációs küszöb

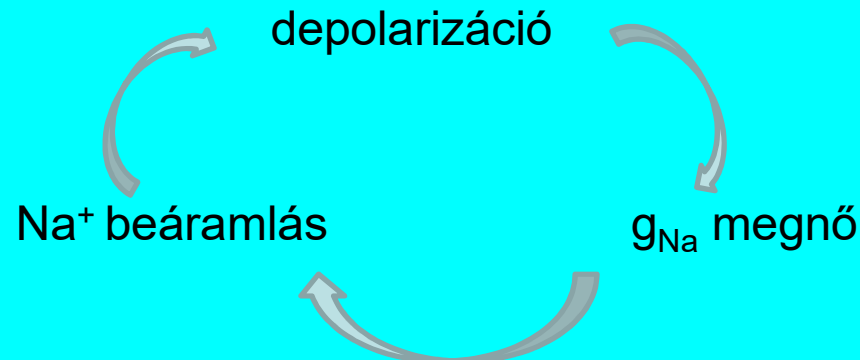


fakultatív
azonos amplitúdójú – minden vagy semmi
nem lokalizált

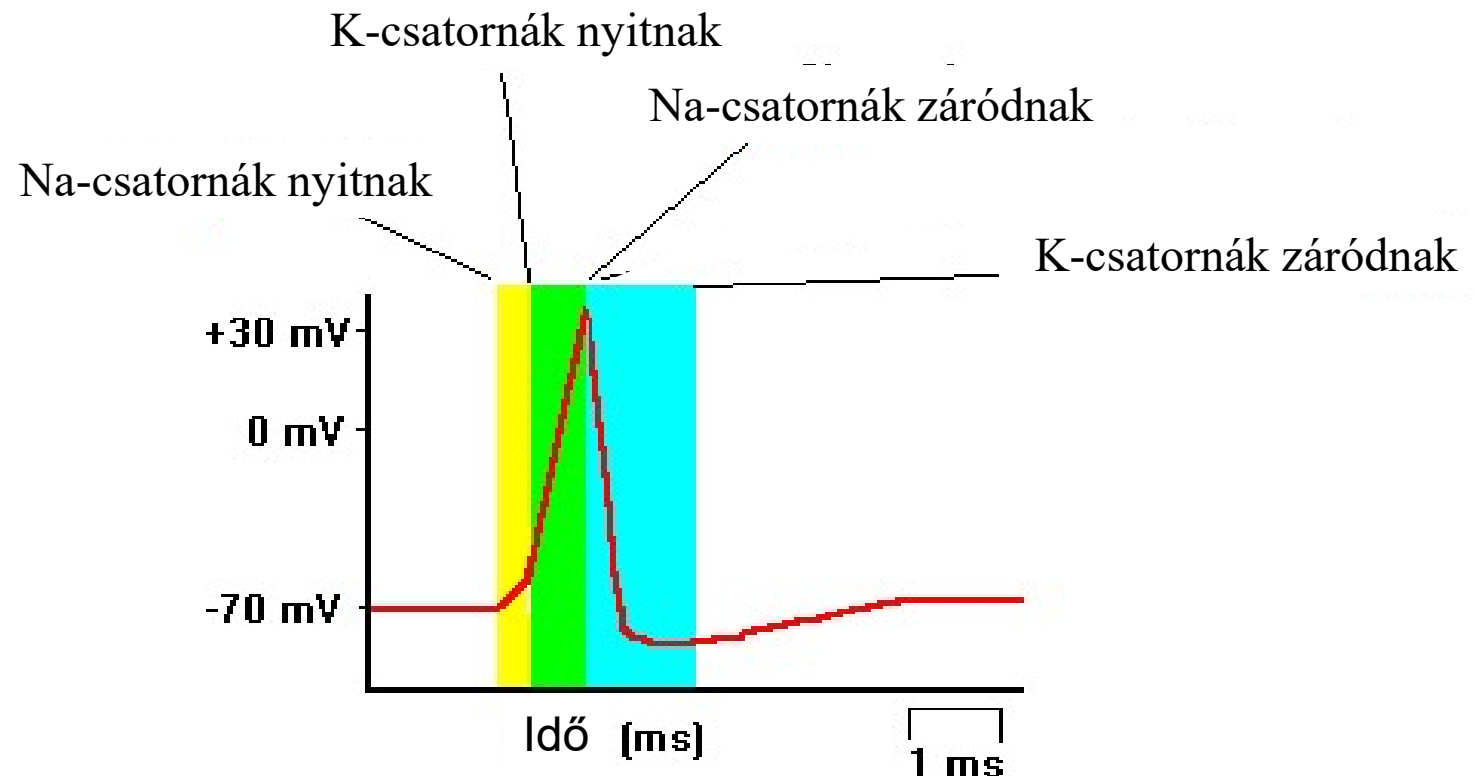
Hodgkin-Katz hipotézise az akciós potenciál kialakulásáról

feszültségfüggő ioncsatornák működése

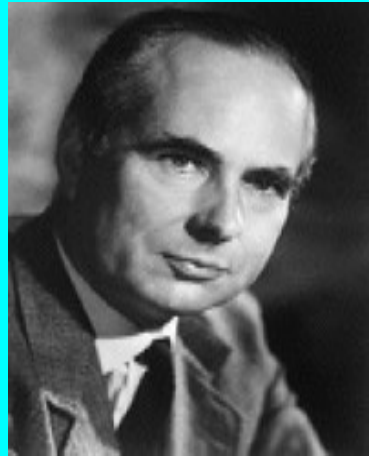
$$\varphi_e - \varphi_i = -\frac{RT}{F} \ln \frac{\sum p_k^+ c_{ke}^+ + \sum p_k^- c_{ki}^-}{\sum p_k^+ c_{ki}^+ + \sum p_k^- c_{ke}^-}$$



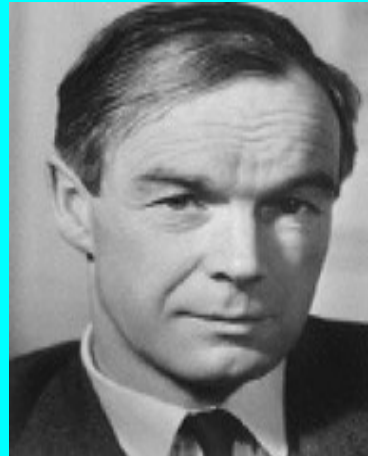
Hodgkin-Katz hipotézise az akciós potenciál kialakulásáról



Hogyan lehetne az egyedi ionáramokat mérni?



Andrew Fielding Huxley
(1917-2012)

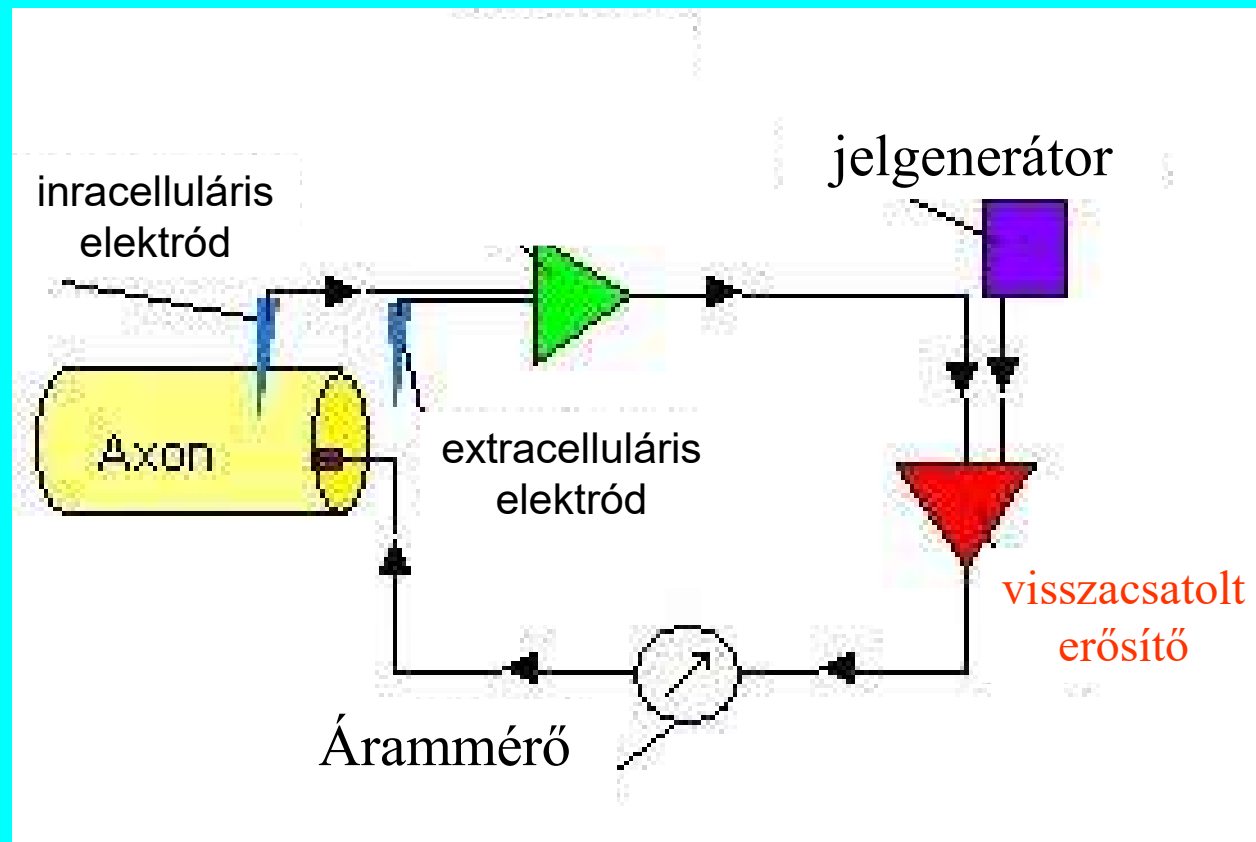


Alan Loyd Hodgkin
(1914-1998)

The Nobel Prize in Physiology or Medicine
1963

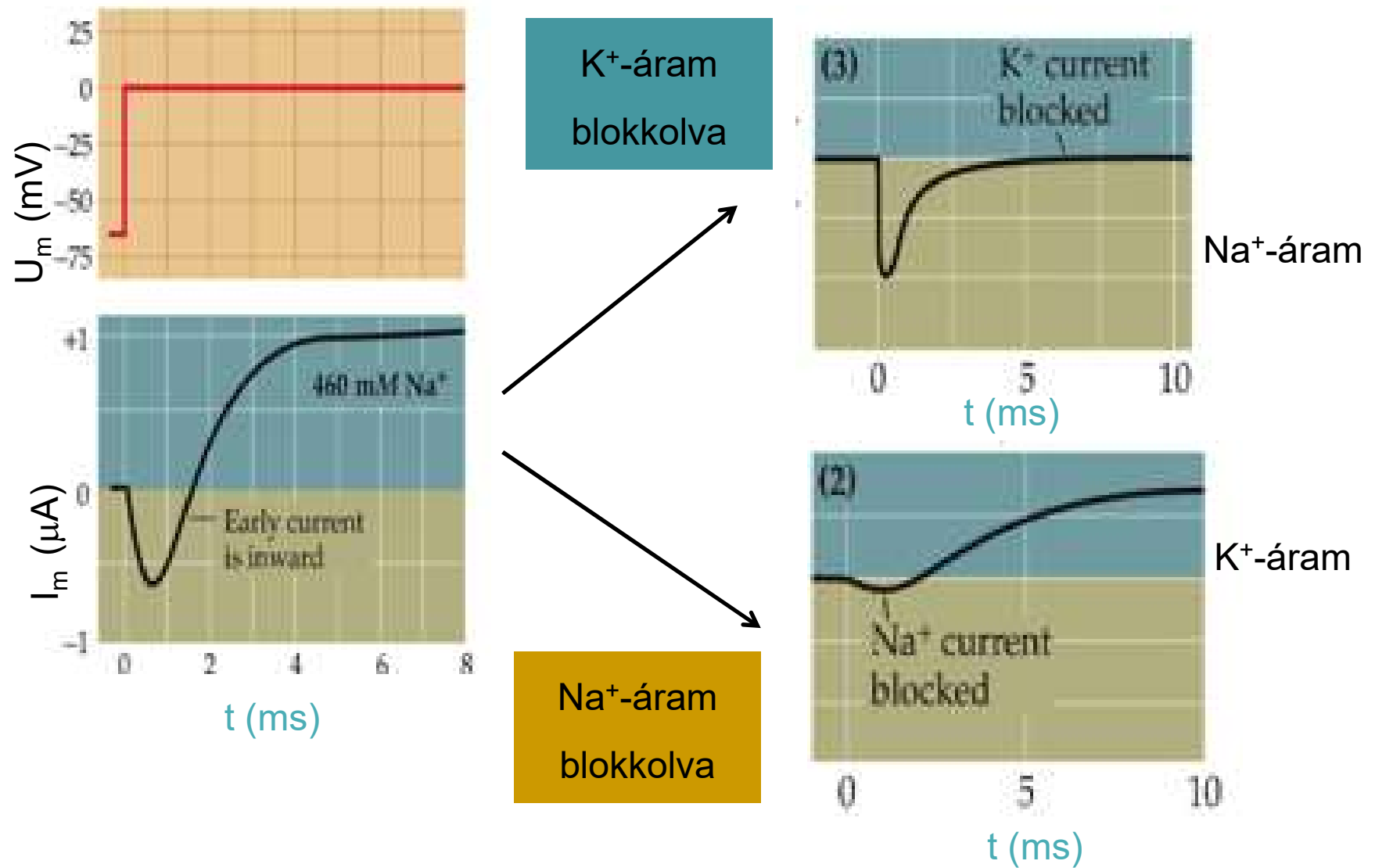
“for their discoveries concerning the ionic mechanisms involved in excitation and inhibition in the peripheral and central portions of the nerve cell membrane”

Voltage Clamp

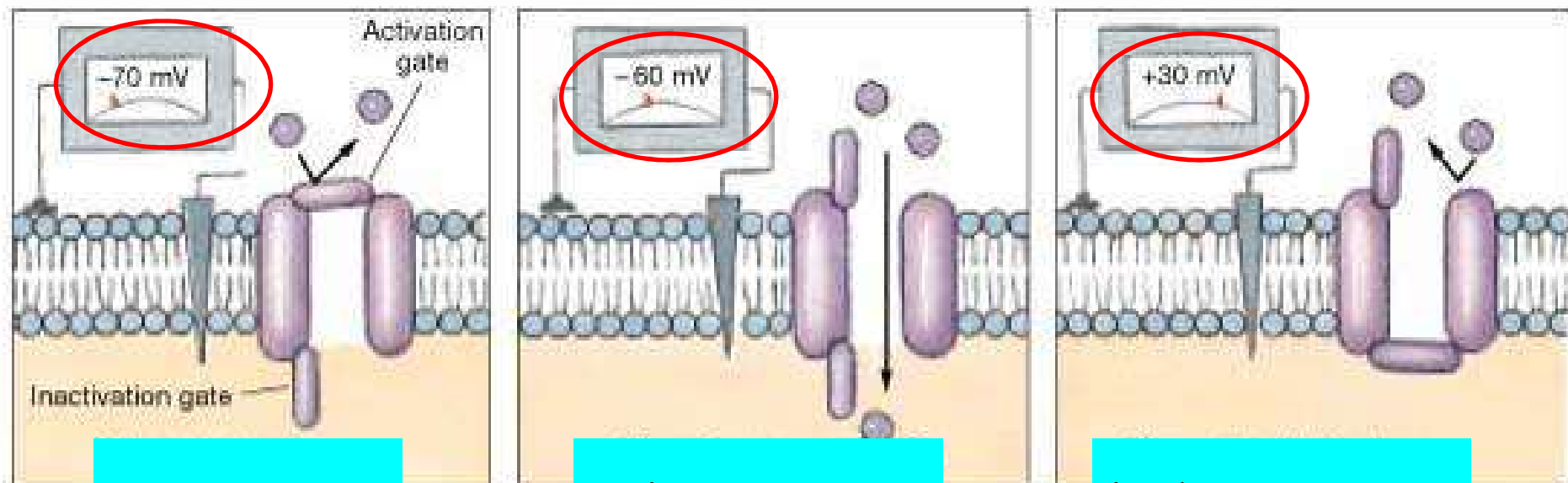


- membránpotenciált állandó értéken tartja
- az ionáramot – áramerősséget – méri

Na^+ és K^+ áram mérése

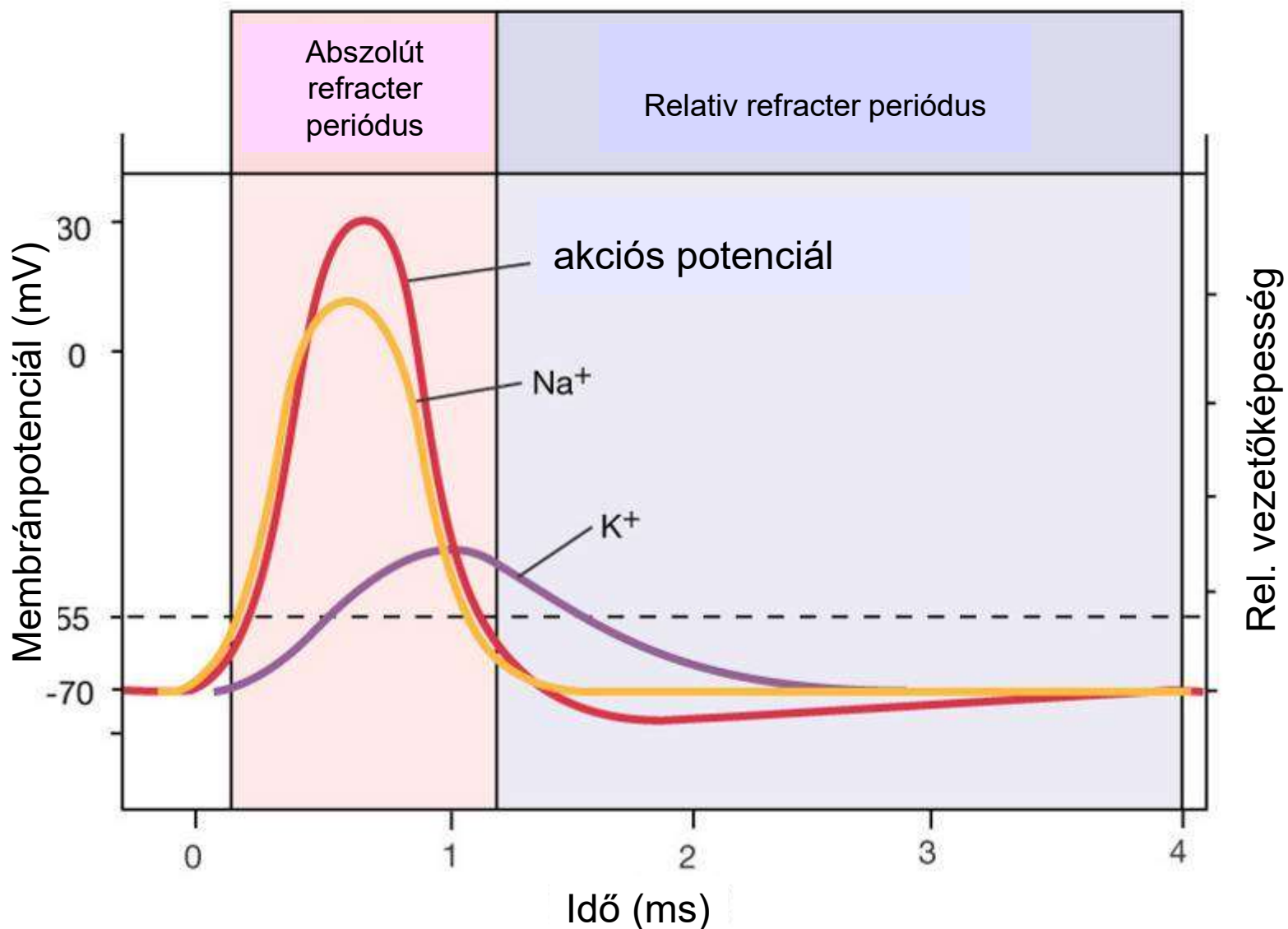


Feszültségszabályozott Na^+ -csatornák állapotai



↑
depolarizációs küszöb felett

Vezetőképesség az akciós potenciál alatt



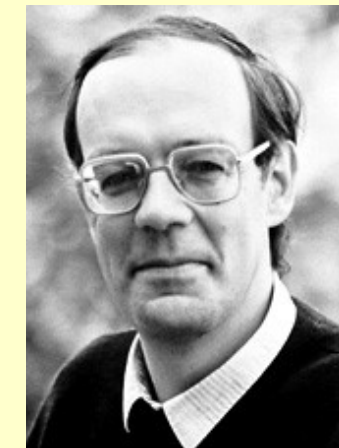
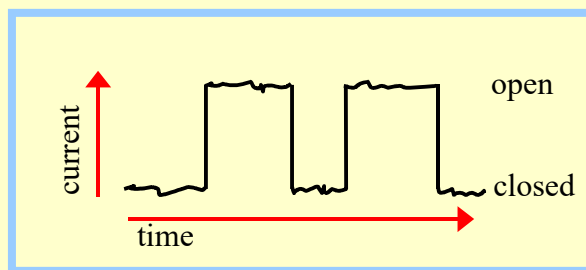
Patch-Clamp technika

Egyetlen csatornán át folyó áramot (10^{-12} A) méri.

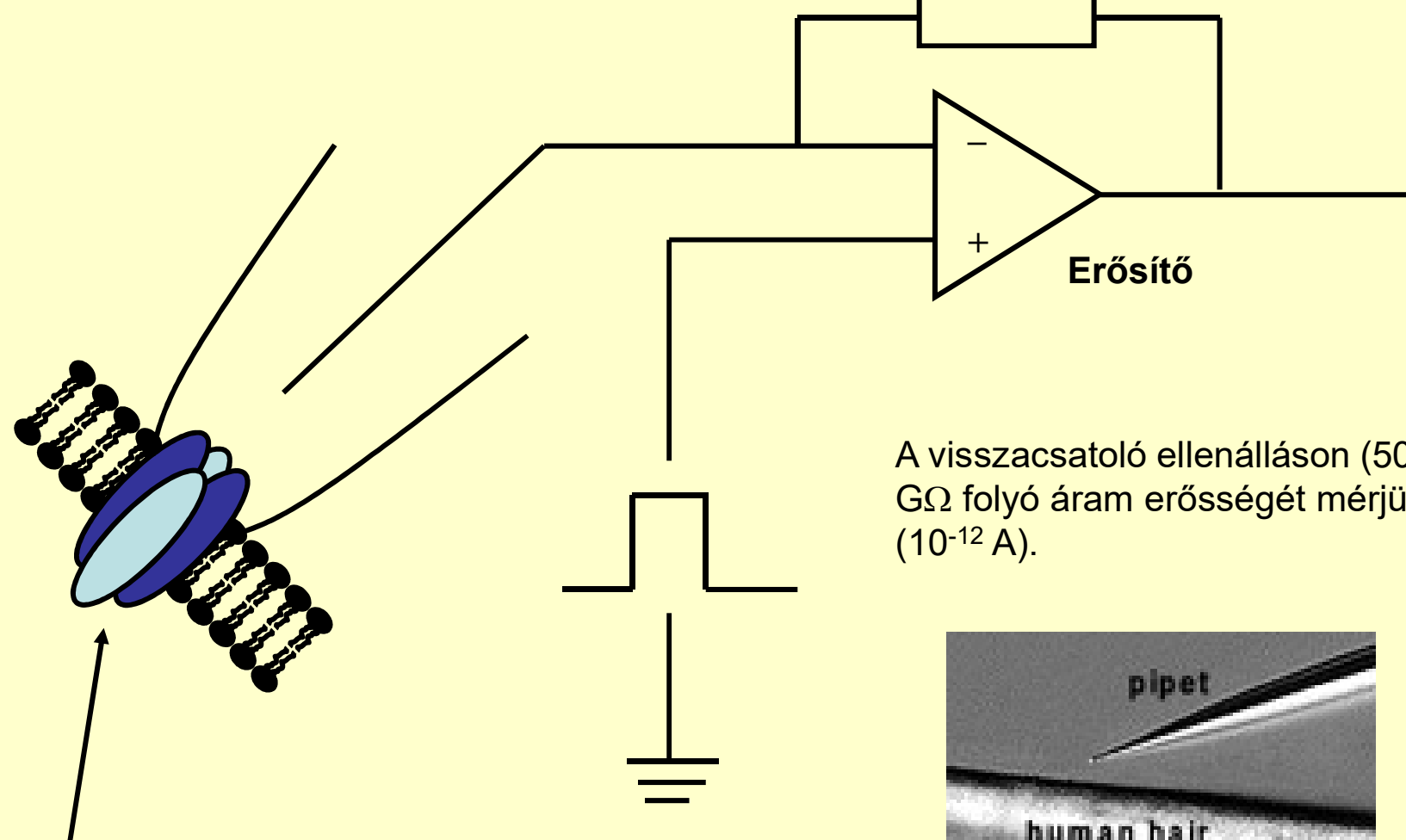


The Nobel Prize in Physiology or Medicine
1991 was awarded jointly to Erwin Neher
(1944-) and Bert Sakmann (1942-)

*"for their discoveries concerning the
function of single ion channels in cells"*



Patch-Clamp áramkör



Membrán Patch egy ionocsatornával



Patch-Clamp berendezés

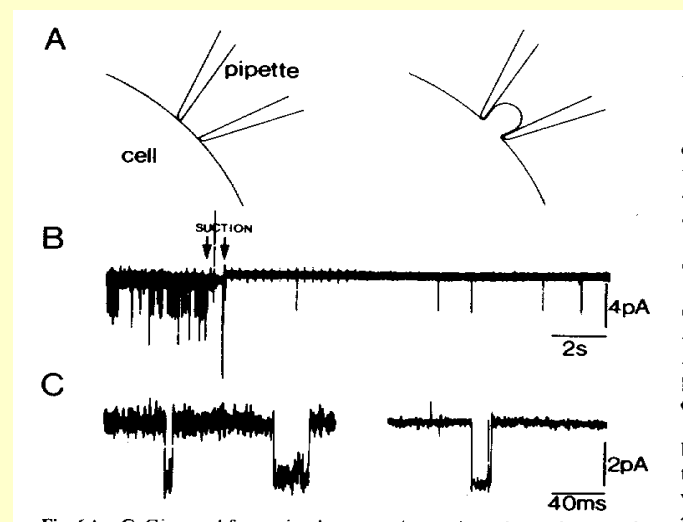
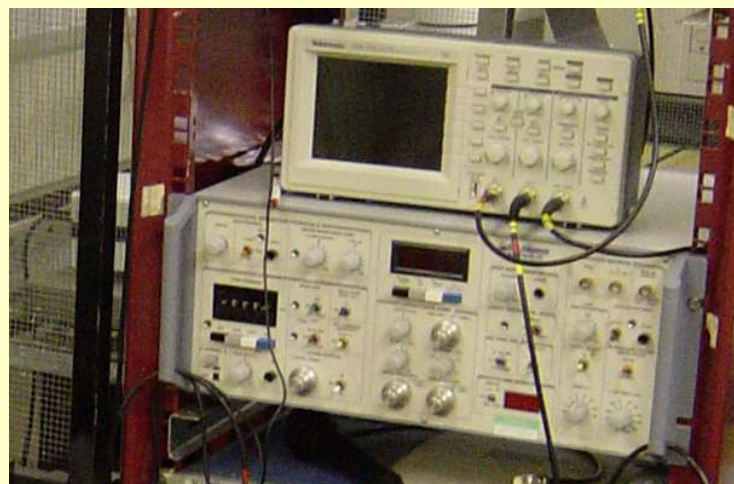
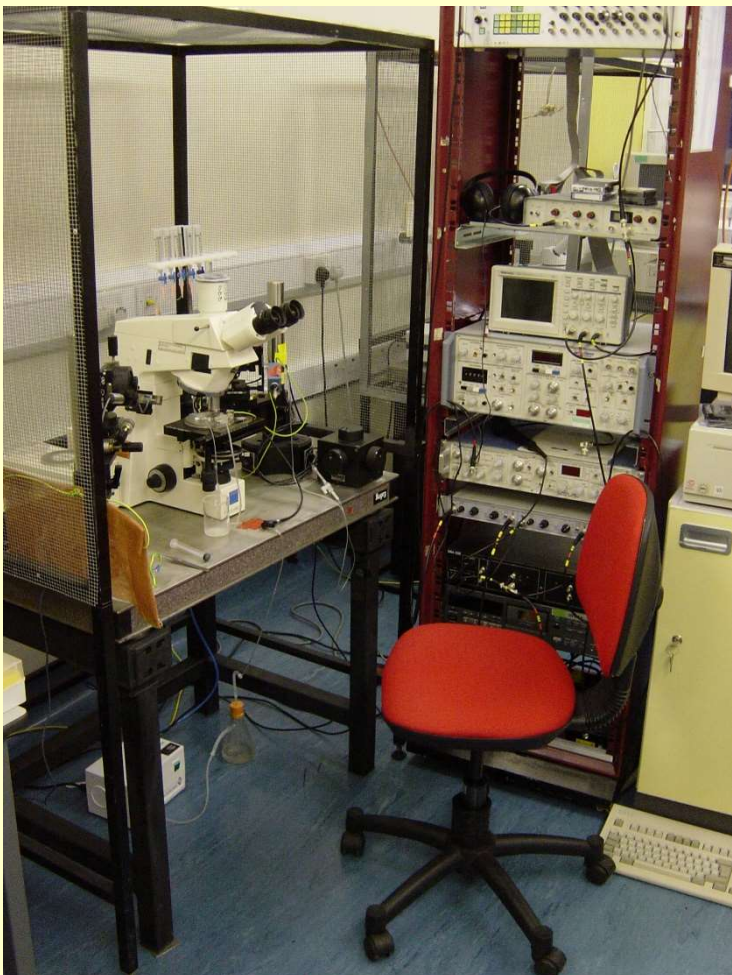
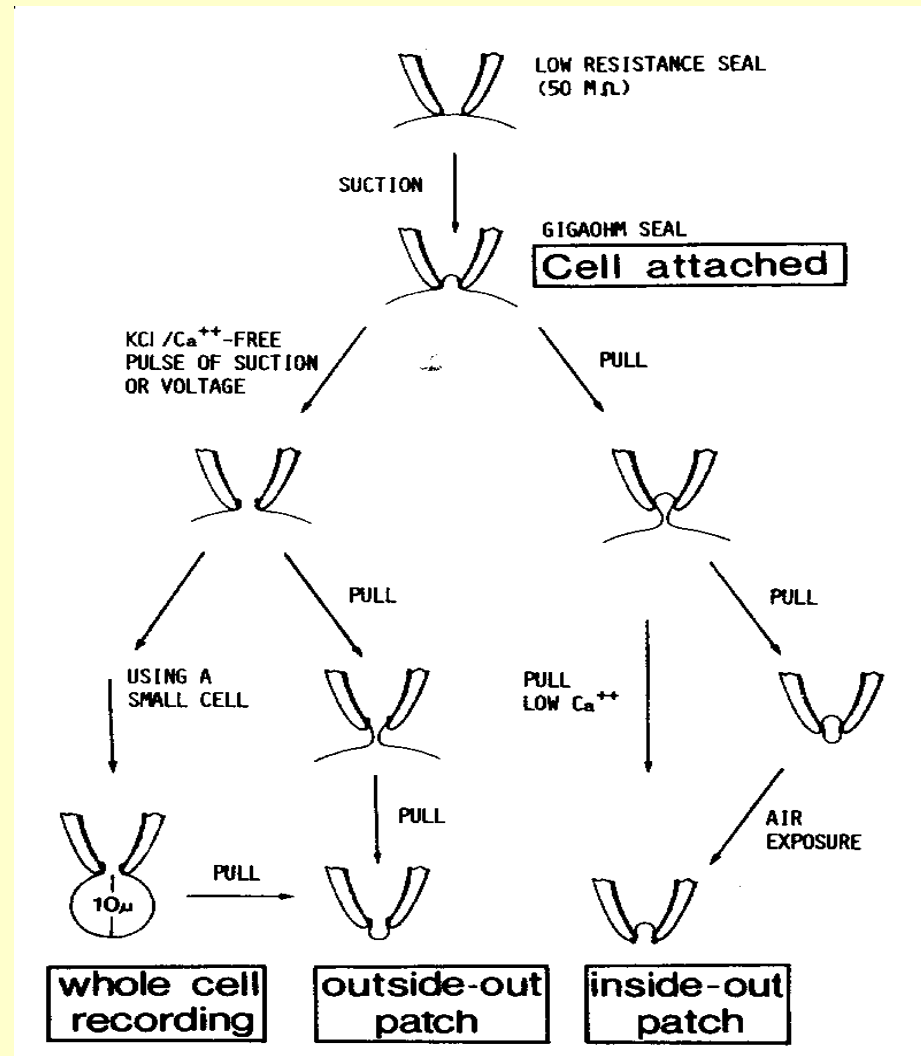


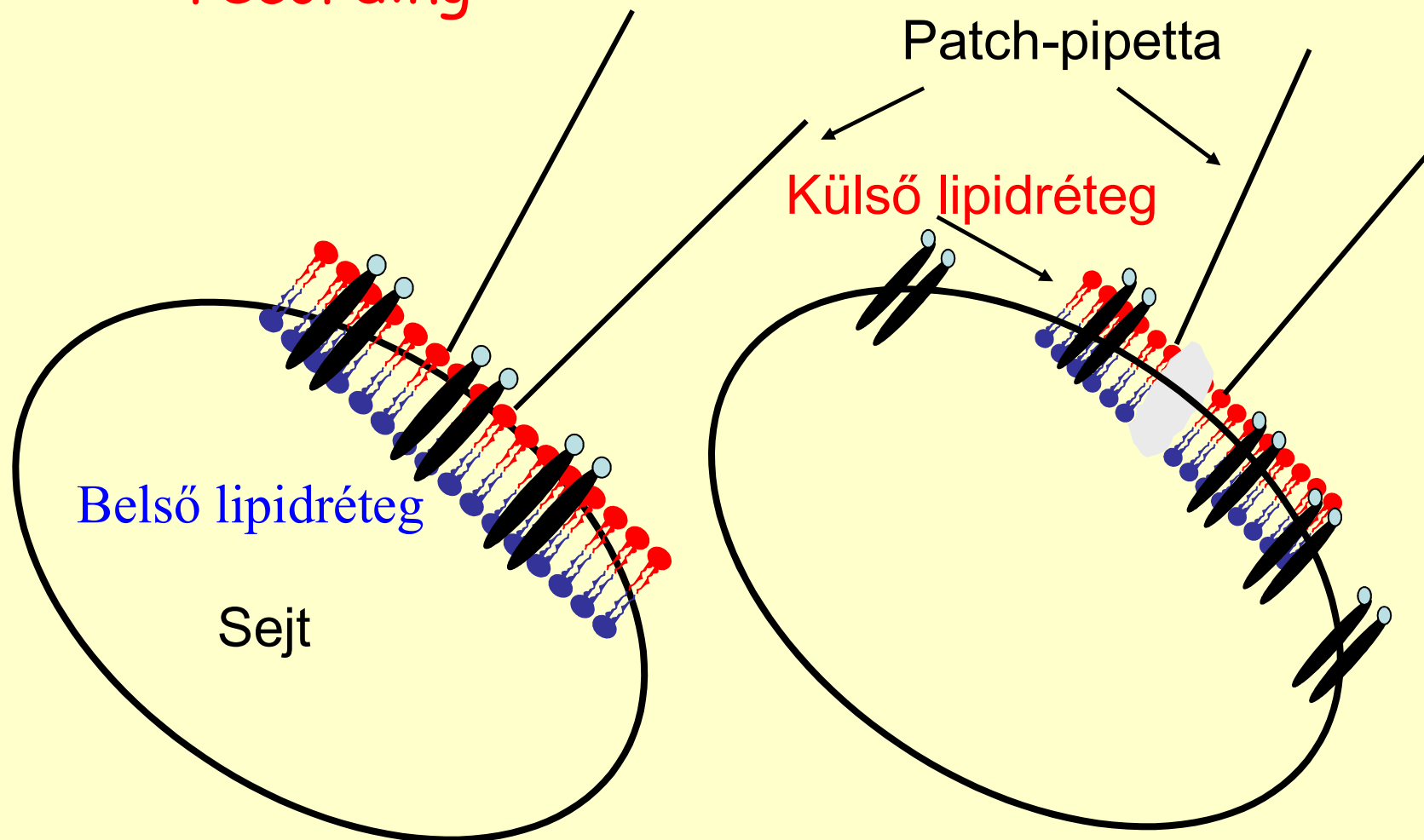
Fig. 6A—C. Giga-seal formation between pipette tip and sarcolemma of ventricular myocytes in the presence of Ca²⁺-ATPase inhibitor tetracaine at a holding potential of −60 mV and a pipette resistance of ~1 GΩ.

Patch-Clamp konfigurációk



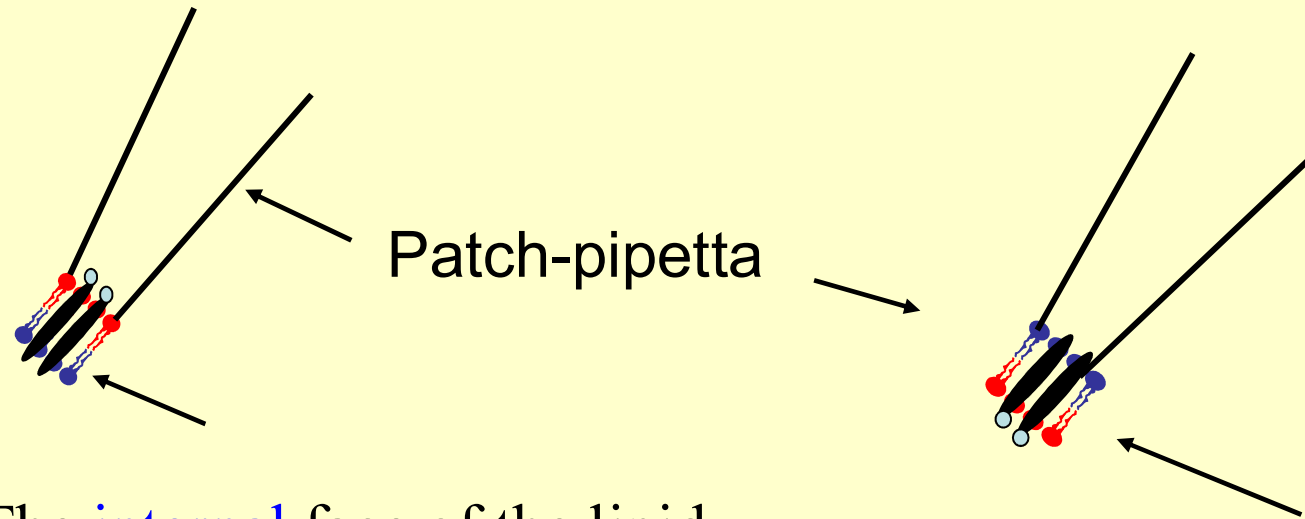
From Hamill et al 1981

*Cell-attached
recording*



*Whole-cell
recording*

Inside-out recording

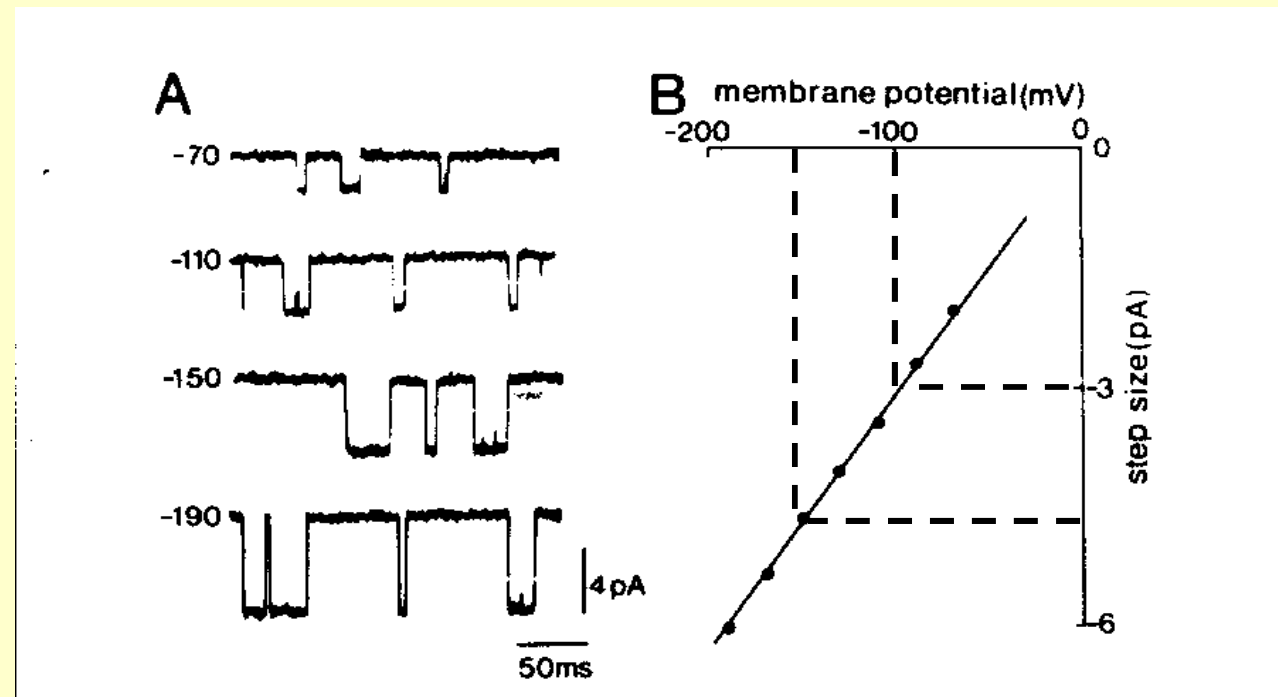


The **internal** face of the lipid bi-layer faces the bath solution

The **external** face of the lipid bi-layer faces the bath solution

Outside-out recording

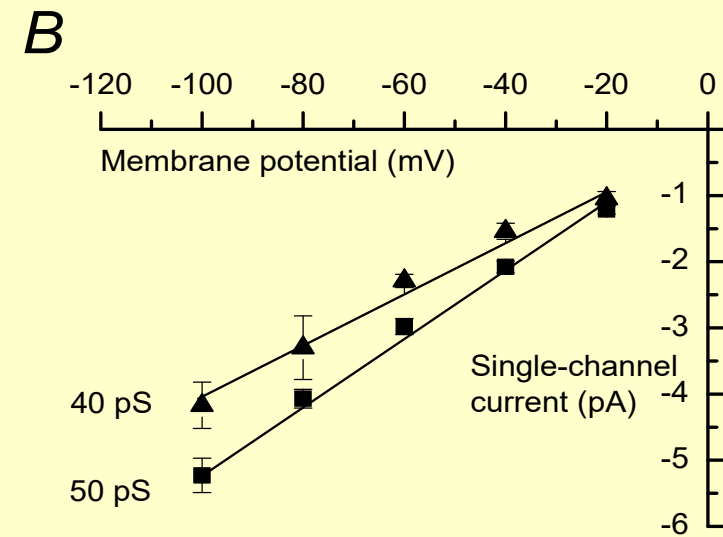
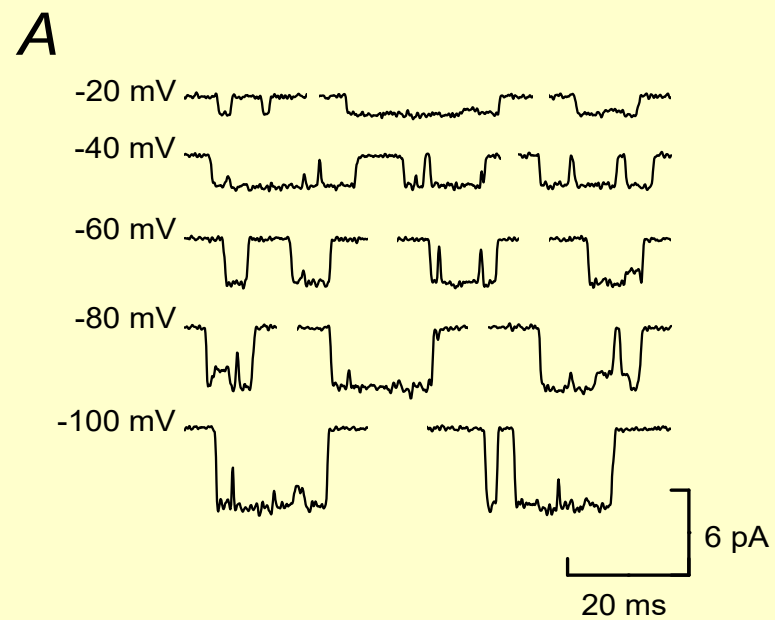
Single-channel I/V függvény a csatorna vezetőképességének meghatározására



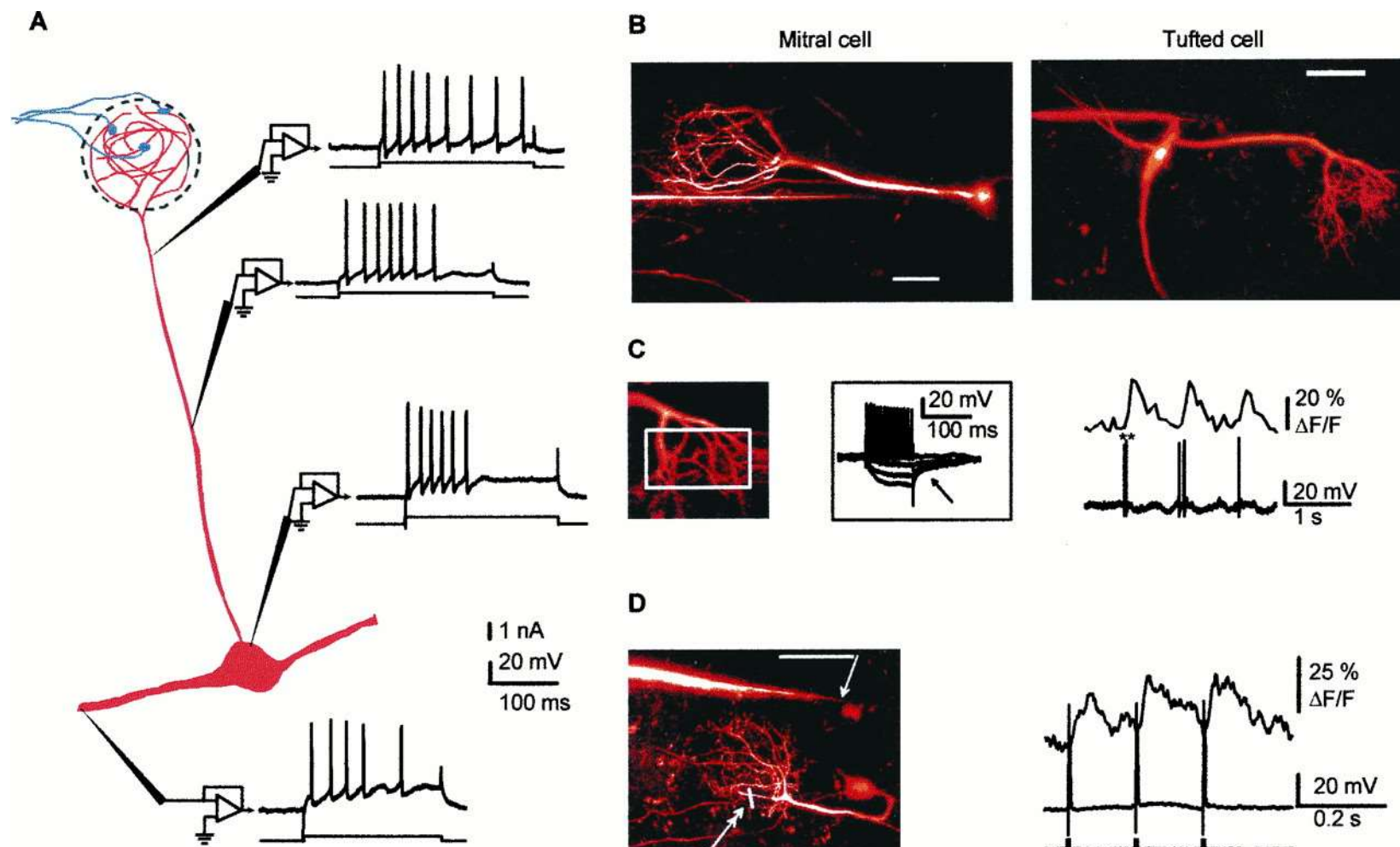
$$\begin{aligned}
 g_{\text{csatorna}} &= \Delta I \div \Delta V \\
 &= 1.6 \times 10^{-12} \text{ A} \div 50 \times 10^{-3} \text{ V} \\
 &= 32 \times 10^{-12} \text{ S} \\
 &= 32 \text{ pS}
 \end{aligned}$$

From Hamill et al 1981

Egyes csatornáknak több állapota lehet



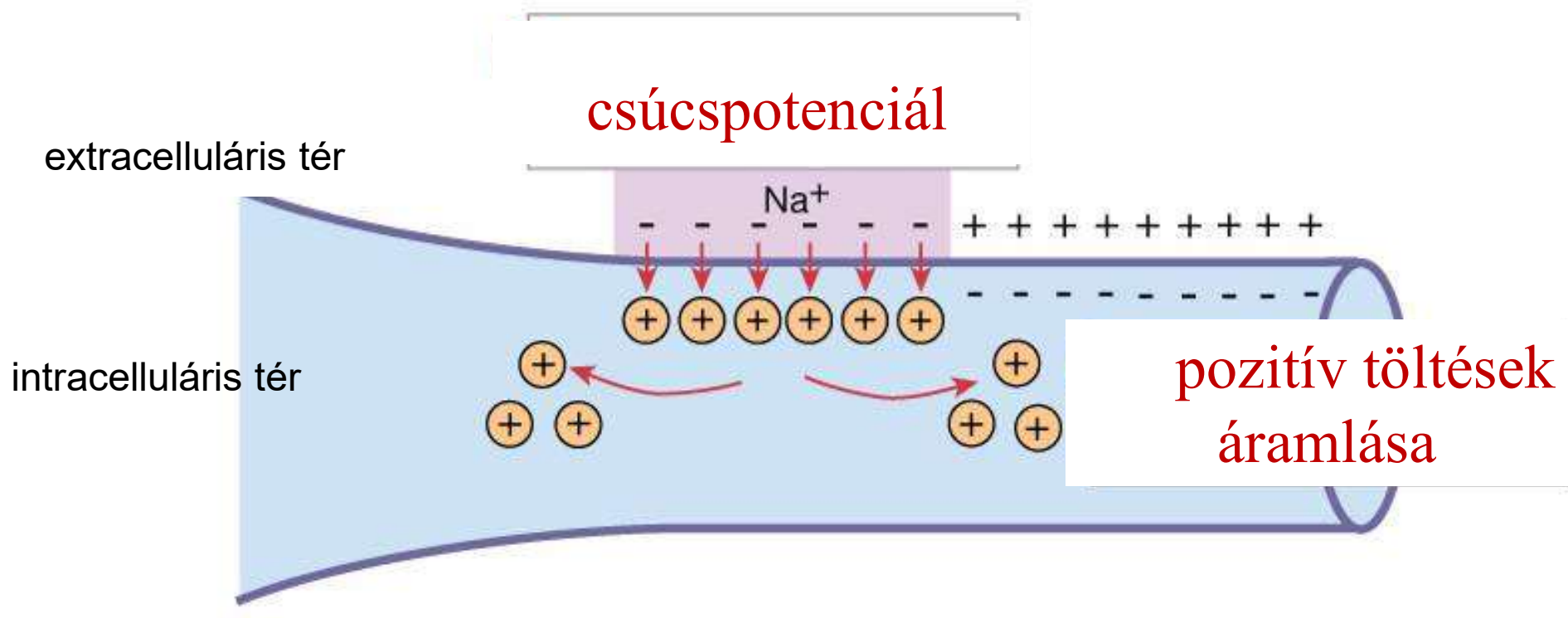
Sodium action potentials synchronize $[Ca^{2+}]$ transients in all dendritic compartments of mitral cells in the olfactory bulb of anesthetized rats.



Charpak S et al. PNAS 2001;98:1230-1234

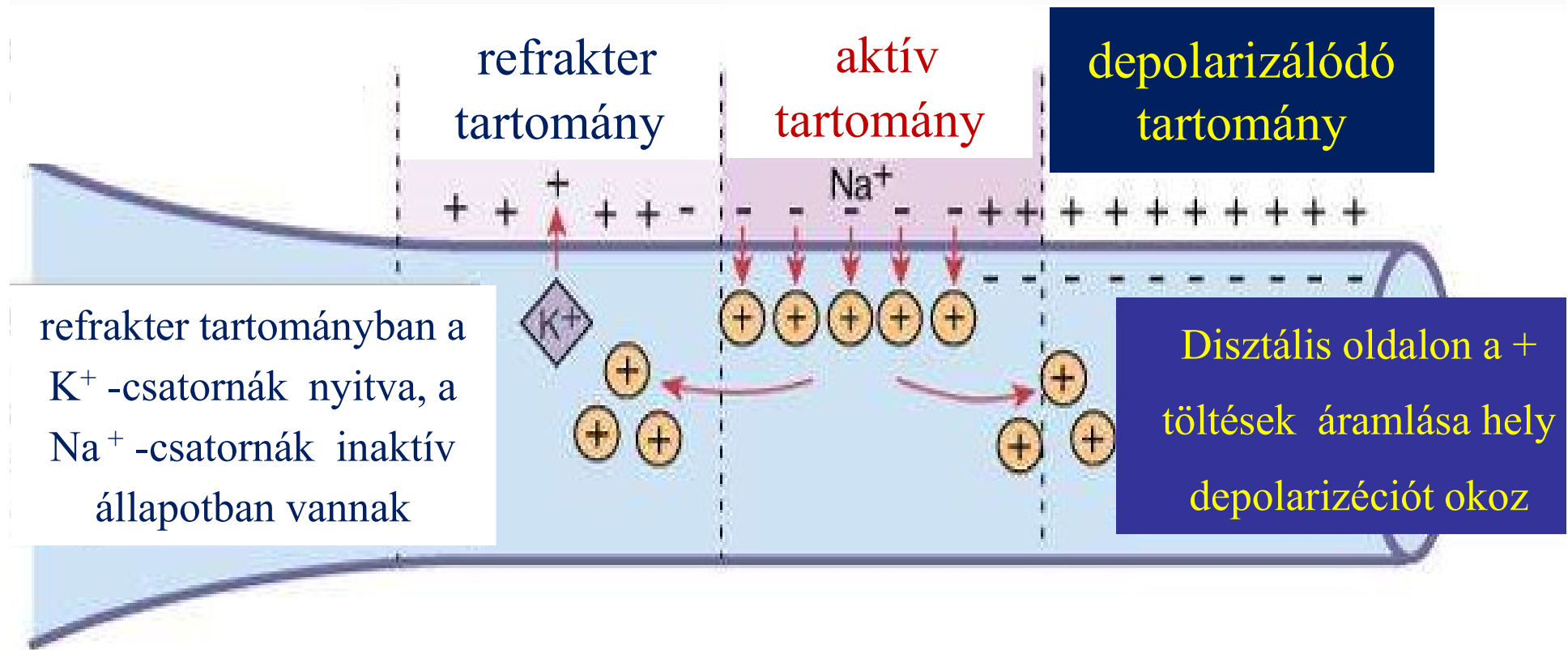
Az elektromos jellemzők hatása a jelvezetés
sebességére

Az akciós potenciál terjedése (1)



Alapja: helyi áramok kialakulása – helyi depolarizáció

Az akciós potenciál terjedése (2)



Terjedés sebessége – milyen gyorsan, milyen messze?

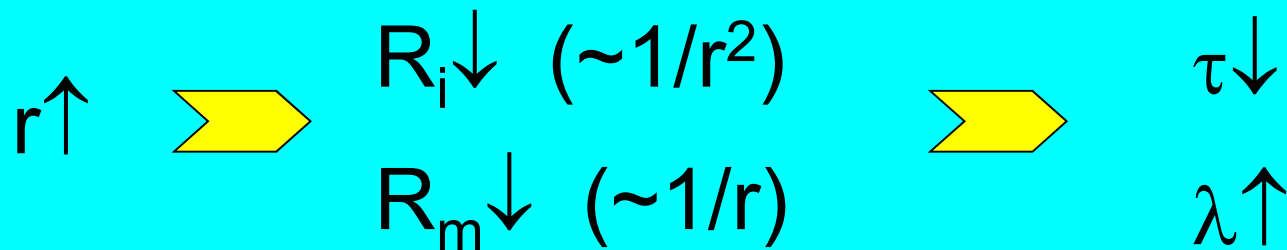
Sebessége: τ és λ , vagyis az elektromos jellemzők függvénye

- mennyi idő alatt éri el a depolarizációs küszöböt — τ
- milyen távolságon éri még el a depolarizációs küszöböt — λ

Az axon sugarának hatása a vezetés sebességére:

$$\lambda \sim \sqrt{\frac{R_m}{R_i}}$$

$$\tau = C_m R_m$$



tintahal óriás axon $r=250\mu\text{m}$

$v=25\text{m/s}$

emberi idegsejt $r= 10 \mu\text{m}$

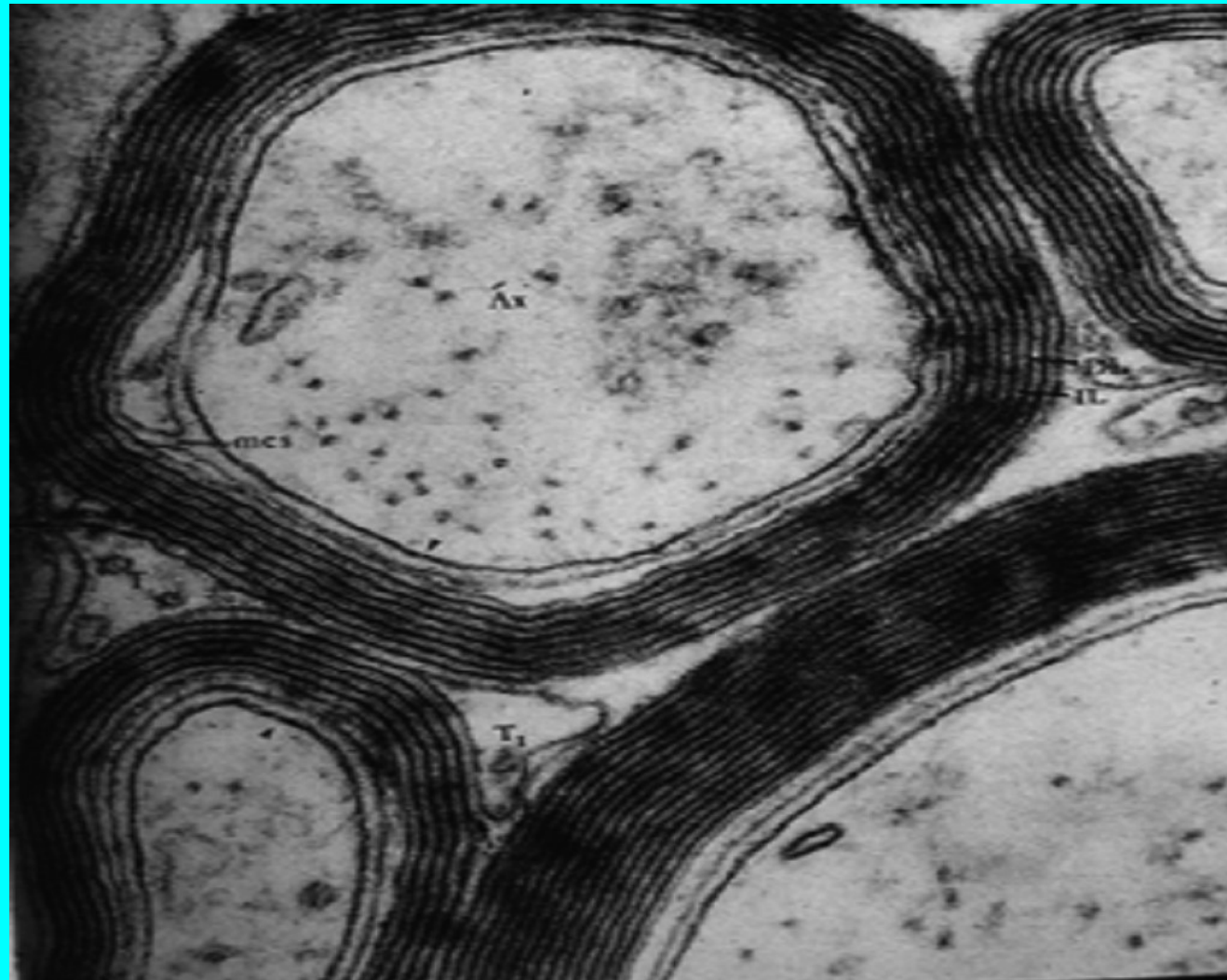
$v \neq 0.5\text{m/s} ?$

Hogyan növelhetjük a vezetés sebességét?

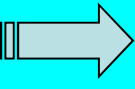
1. Az axon sugarának növelésével – metabolikusan “drága”
– helyigényes
2. A membránkapacitás csökkentése , mert kevesebb töltés
szükséges a membránpotenciál változtatásához



Megoldás: mielin hüvely !



Megoldás: mielin hüvely !

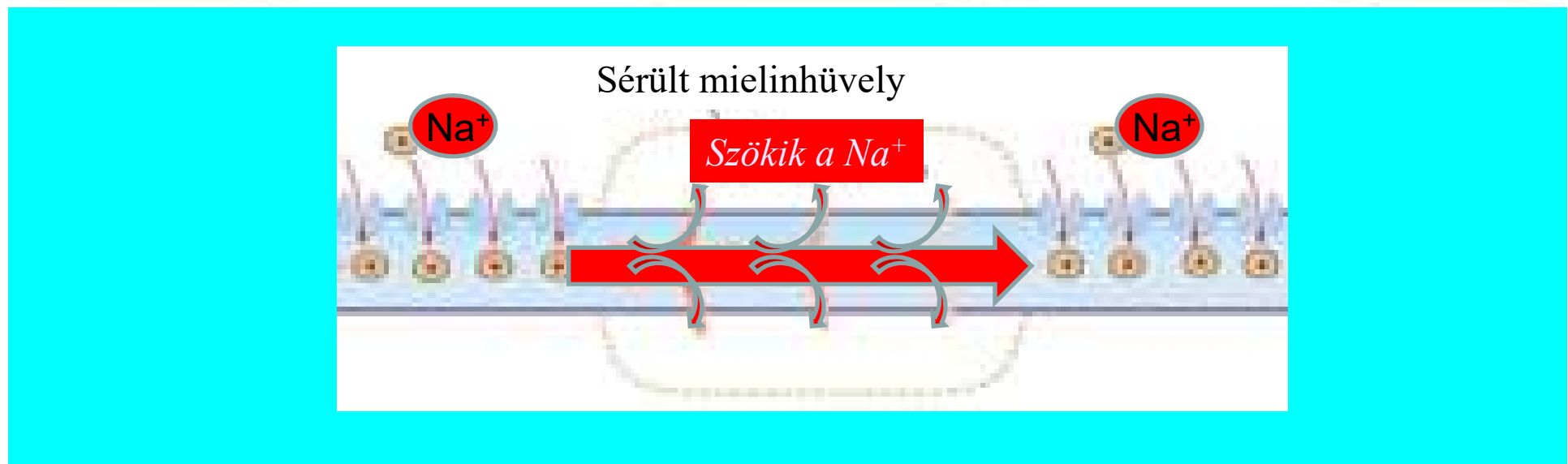
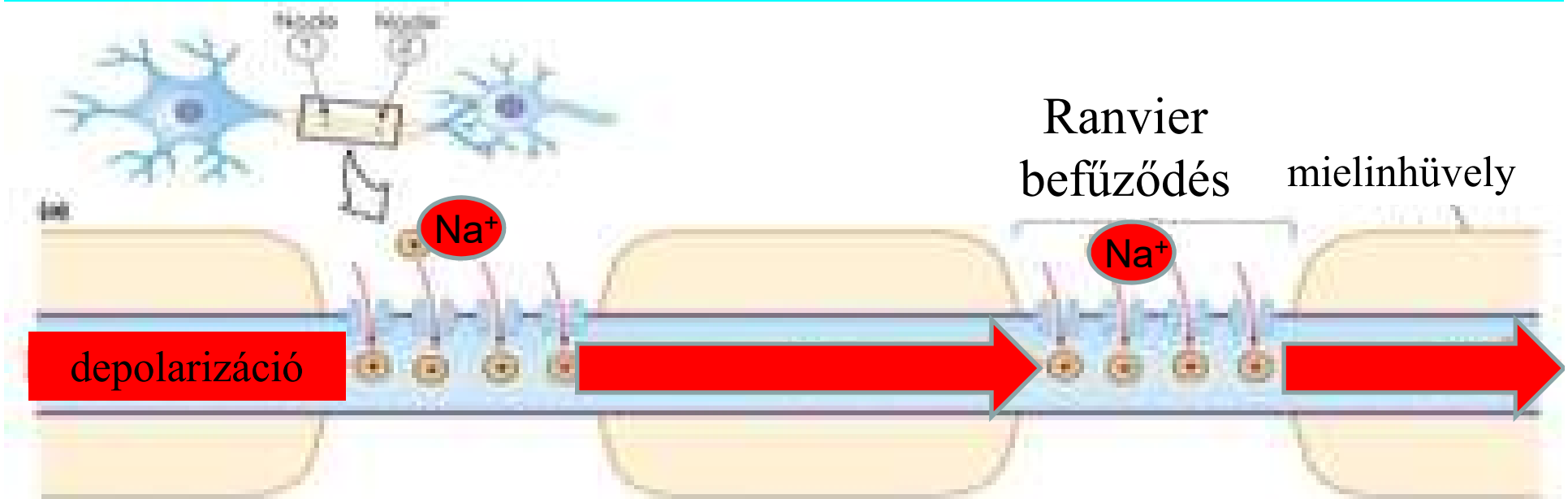
R_m – nagyon nagy  nagy térkonstans

C_m – nagyon kicsi  kis időállandó

emberi idegsejt $r = 10 \mu\text{m}$

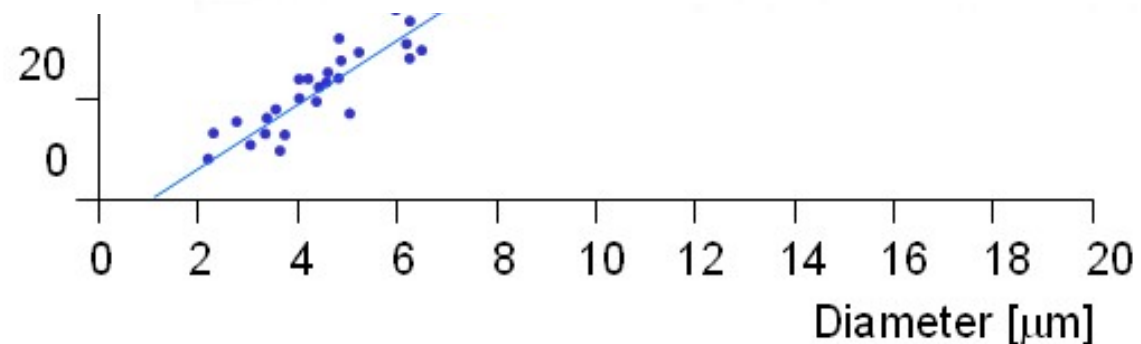
$v \sim 100 \text{ m/s} ?$

Saltatorikus vezetés - gyors, energiatakarékos



Az átmérő és a mielin hüvely hatása a vezetés sebességére

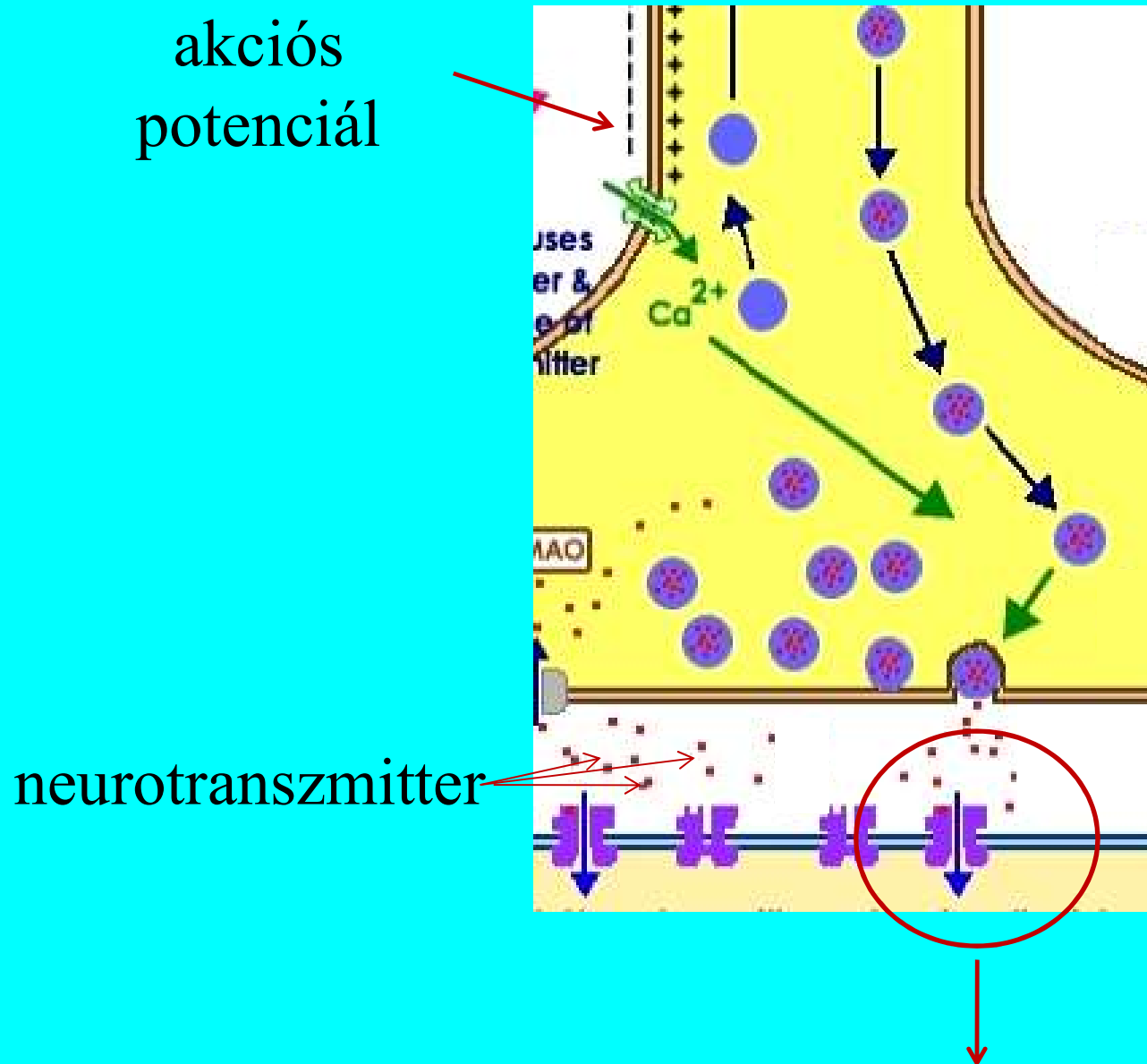
axon típusa	axon átmérője (μm)	vezetés sebessége (m/s)
mielinált		
A α	18.5	42
A β	14.0	25
A γ	11.0	17
B	Approximately 3.0	4.2
nem mielinált		
C	2.5	0.4–0.5



Az elektromos jellemzők hatása a jelátadás sikerességére

Jelátadás a szinapszisban

akciós
potenciál



Preszinaptikus neuron

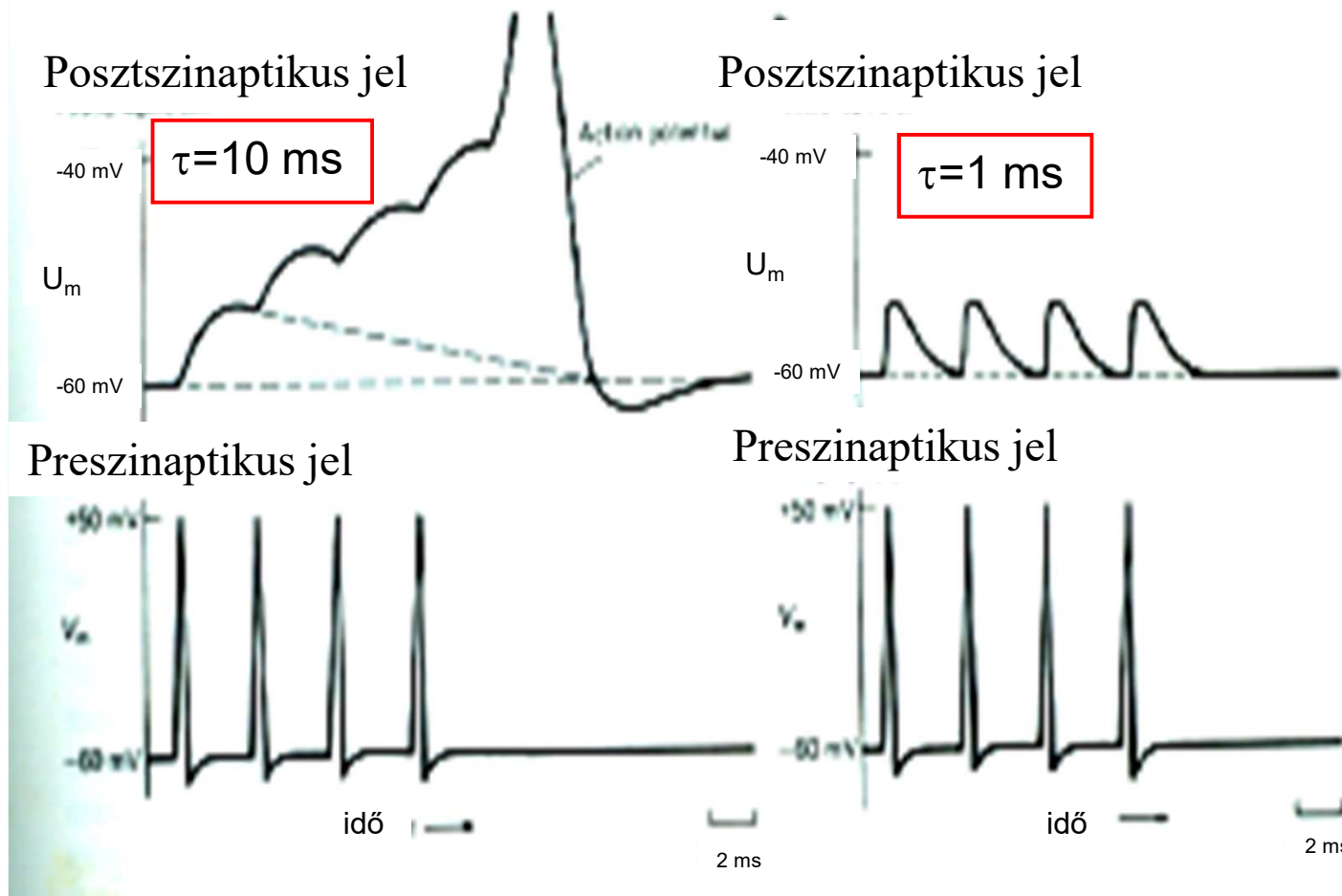
Posztszinaptikus neuron

Az elektromos jellemzők hatása a jelátadás sikerességére

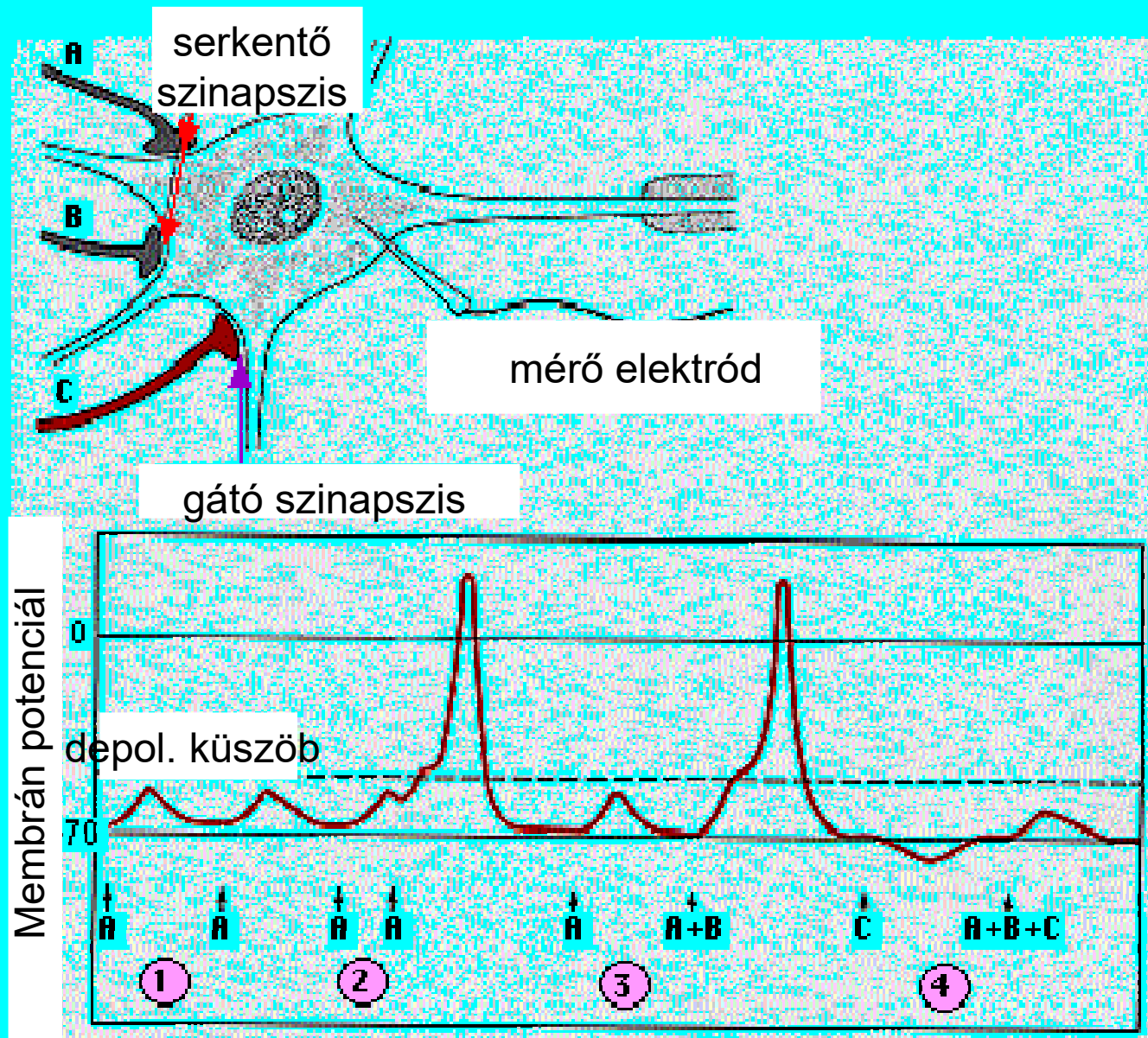
térbeli szummáció: egyidejűleg, több ponton érkező küszöb alatti ingerek összegződése

időbeli szummáció: egyazon pontba érkező küszöb alatti ingerek összegződése

időbeli szummáció: egyazon pontba érkező küszöb
alatti ingerek összegződése akciós potenciált válthat ki



Példa az időbeli és térbeli szummációra



Összefoglalás

Nyugalmi potenciál

leírása: egyensúlyi modell
 transzport modell
 elektromos modell

szerepe

A nyugalmi potenciál helyi megváltozása

jellemzői: időállandó
 térkonstans

szerepe: ingerületvezetés sebessége
 jelátadás sikeressége

Akciós potenciál

szerepe: információ továbbítás
 lefolyása